

BADAN METEOROLOGI KLIMATOLOGI DAN GEOFISIKA

STASIUN METEOROLOGI MARITIM AMBON MALUKU

BULEIN METEOROLOGI MARITIM

EDISI SEPTEMBER 2025



Analisis kondisi perairan Bulan Agustus 2025 Analisis Cuaca Bulan Agustus 2025 Analisis Global Dinamika Atmosfer Gambaran Umum kondisi perairan Bulan September 2025 Prakiraan Pasang Surut Bulan September 2025



Stasiun Meteorologi Maritim



@infoBMKGMaluku



081296265822



https://stamar-ambon.bmkg.go.id

KATA PENGANTAR

Puji dan syukur kami panjatkan kehadirat Allah SWT Tuhan Yang Maha Esa, karena atas rahmat dan karunia-Nya, sehingga Buletin Stasiun Meteorologi Maritim Ambon Edisi September 2025 ini dapat terselesaikan dengan baik.

Buletin ini menyajikan profil cuaca Stasiun Meteorologi Maritim Ambon pada bulan Juli 2025, Analisis Kondisi Perairan Maluku pada Bulan Agustus 2025 dan gambaran umum kondisi cuaca Maritim pada bulan September 2025 di 18 (Delapan belas) wilayah perairan yang menjadi tanggung jawab BMKG Maritim Ambon, yaitu Laut Seram bagian Barat, Laut Seram bagian Timur, Perairan Buru, Perairan P. Ambon – P.P. Lease, Perairan Selatan Seram, Laut Banda Utara bagian Barat, Laut Banda Utara bagian Timur, Laut Banda Selatan Bagian Barat, Laut Banda Selatan bagian Timur, Perairan Kep. Sermata – Kep. Leti, Perairan Kep. Babar, Perairan Kep. Tanimbar, Laut Arafuru bagian Barat, Perairan Kep. Kai, Perairan Kep. Aru, dan Laut Arafuru bagian Tengah. Informasi tambahan yang berupa gambaran umum kondisi Pasang Surut Air Laut pada bulan September 2025 di beberapa kota / kabupaten di Maluku.

Penyusunan buletin bertujuan agar dapat dimanfaatkan untuk mendukung, meningkatkan dan menentukan kebijakan perencanaan pembangunan oleh instansi terkait, terutama pada sektor transportasi, kelautan, perikanan dan lain sebagainya. Selanjutnya kami mengucapkan terima kasih kepada seluruh pihak yang telah membantu dalam penyusunan dan penerbitan buletin ini. Segala kritik serta saran untuk perbaikan publikasi ini kami terima dengan terbuka guna memperbaiki kinerja kami.

Ambon, September 2025 KEPALA STASIUN METEOROLOGI MARITIM AMBON

Kepala.

Muiahidin, S.Si

TIM REDAKSI

Pengarah dan Penanggung Jawab:

Mujahidin, S.Si

Pemimpin Redaksi:

Johannis Steven H. Kakiailatu

Tim Redaksi:

Suaif Iriyanto

Yasinta Marla Lawery

Reinaldy Y Amahorsea

Dewi Rahmadhani M

Muhammad Arya D

Aneras Wulan Saptani

Ndaru Pratomo

Priscellia T Bernard

Hendrik D D P Soedradjat

M. Ihtisamul Hasan, S.Tr

Alamat Redaksi:

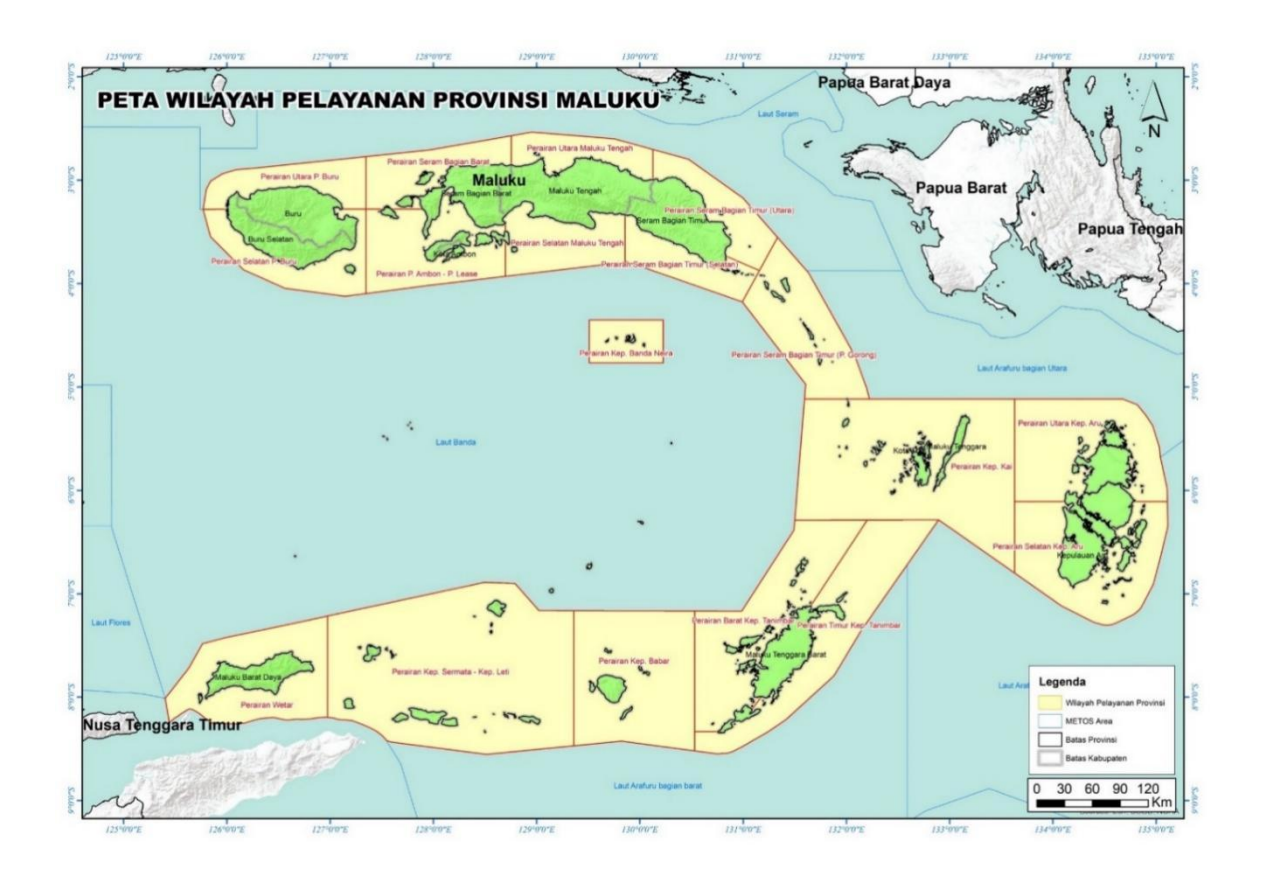
Jl. Amanlite, Waimahu Latuhalat Nusaniwe –

Ambon Telp. 0911 – 3434398

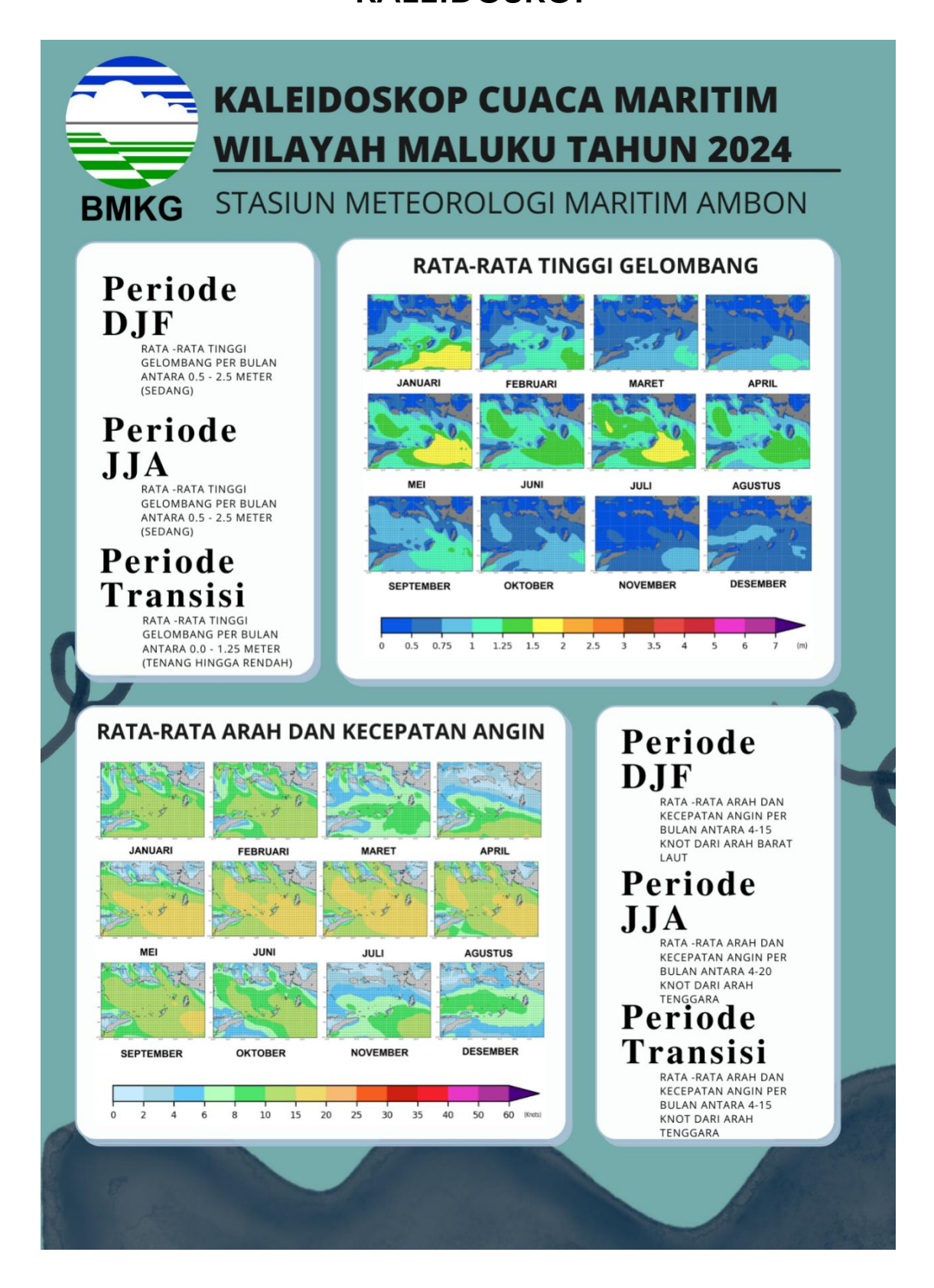
DAFTAR ISI

KATA PENGANTAR	ii
TIM REDAKSI	iii
DAFTAR ISI	iv
WILAYAH PELAYANAN	1
KALEIDOSKOP	2
I. ARTIKEL: BANJIR ROB, ANCAMAN PESISIR PERAIRAN MALUKU	3
II. PROFIL CUACA MARITIM BULAN AGUSTUS 2025	4
II.1 Arah dan Kecepatan Angin Rata-rata	5
II.2 Gelombang Signifikan Rata-rata dan Tertinggi Absolut	7
II.3 Profil Cuaca Maritim Bulan Agustus 2025 Stasiun Meteorologi Mariti	im
Ambon	11
II.4 Dinamika Atmosfer Bulan Agustus-September 2025	14
III. GAMBARAN UMUM CUACA MARITIM BULAN SEPTEMBER 2025	18
III.1 Gambaran Umum Arah dan Kecepatan Angin Rata-rata	18
III.2 Gambaran Umum Gelombang Signifikan Tertinggi Absolut	19
III.3 Prakiraan Pasang Surut Bulan September 2025	20
IV. KRITIK DAN SARAN	24
V. DAFTAR PUSTAKA	25

WILAYAH PELAYANAN STASIUN METEOROLOGI MARITIM AMBON



KALEIDOSKOP



I. Artikel: BANJIR ROB, ANCAMAN PESISIR PERAIRAN MALUKU



(sumber: https://stamar-ambon.bmkg.go.id)

Banjir rob atau Banjir Pesisir merupakan fenomena banjir yang terjadi akibat air laut yang meluap ke daratan, biasanya terjadi saat pasang tinggi. Fenomena ini berbeda dengan banjir yang biasa disebabkan oleh curah hujan tinggi. Fenomena banjir ROB ini tidak hanya mengganggu aktivitas masyarakat, tetapi juga dapat merusak infrastruktur, mengancam kesehatan, dan berdampak pada perekonomian lokal seperti aktivitas bongkar muat di Pelabuhan, dan aktivitas di pemukiman pesisir.

Banjir rob biasanya dipicu oleh gravitasi bulan, perubahan iklim, atau aktivitas manusia seperti pengambilan air tanah berlebihan yang menyebabkan penurunan muka tanah (land subsidence). Beberapa fenomena bulan yang berpengaruh saat terjadina banjir ROB antara lain: Lunar Perigee yakni jarak terdekat bulan ke bumi ,Full Moon atau bulan purnama yang merupakan salah satu fase bulan di mana bulan terletak di belakang bumi ditinjau dari matahari, New Moon atau bulan baru dimana posisi Bulan berada di antara Bumi dan Matahari.Fenomena bulan ini berpotensi meningkatkan ketinggian pasang air laut maksimum terhadap rata-rata ketinggian air laut di pesisir. Untuk perairan maluku tercatat ada beberapa wilayah pesisir yang pernah dilaporkan terjadi banjir ROB diantaranya pesisir pulau Ambon, Maluku Tengah, Seram Bagian Timur, Kep. Kai, Kep. Aru dan Kep. Tanimbar. Dampak yang ditimbulkan dari fenomena ini juga cukup signifikan, puluhan rumah masyarakat rusak dan terendam air serta tanggul penahan air laut hancur.Berdasarkan beberapa kejadian tersebut, diharapkan masyarakat yang berada di sekitar pesisir untuk selalu waspada dan melakukan langkah mitigasi.

II. PROFIL CUACA MARITIM BULAN AGUSTUS 2025

Profil Cuaca maritim merupakan informasi analisis cuaca di wilayah perairan. Informasi yang disajikan berupa informasi: Tinggi gelombang, arah dan kecepatan angin.

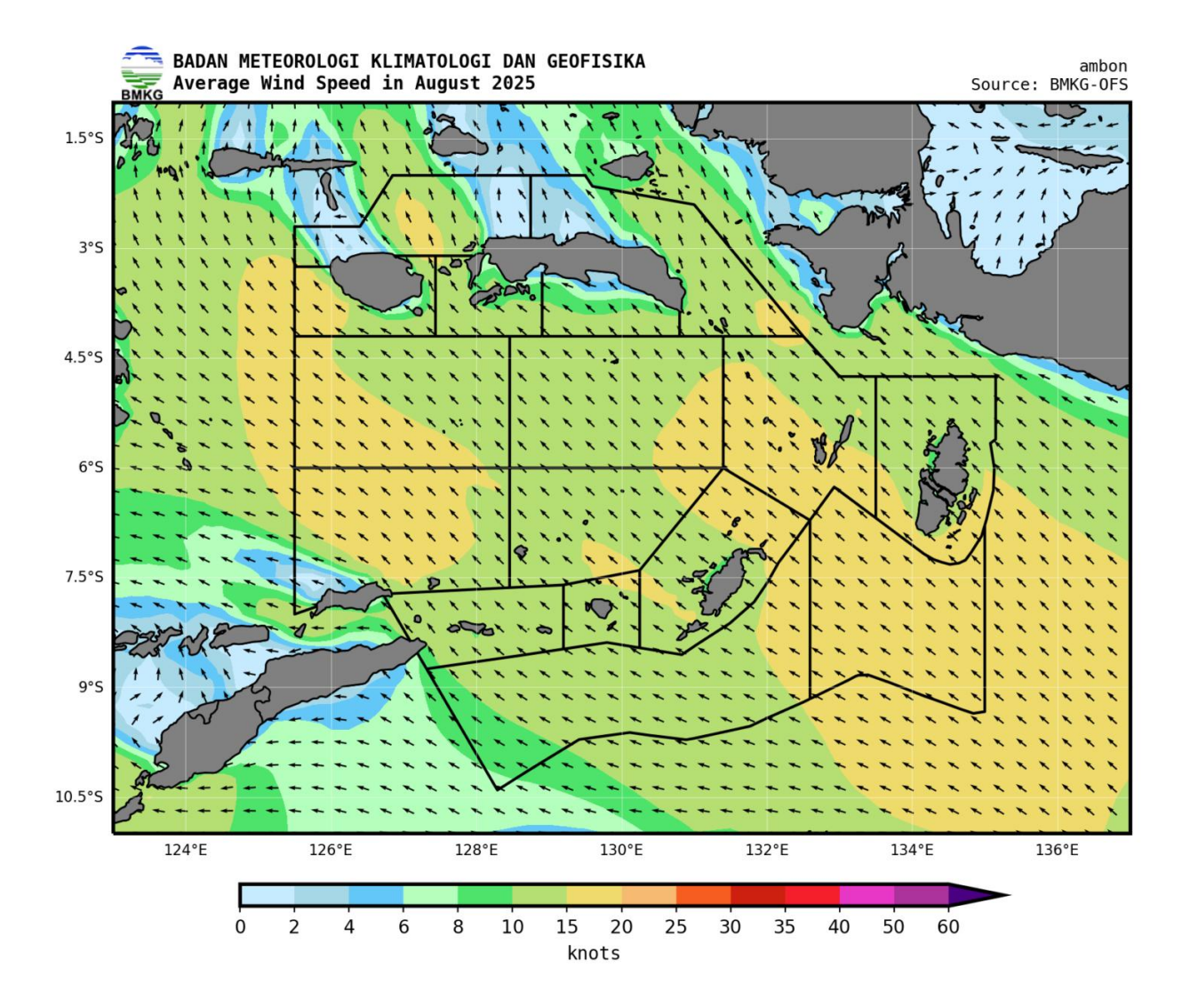
Peta Monthly average wind speed and direction merupakan gambar yang menunjukan rata rata arah dan kecepatan angin yang bertiup berdasarkan pada analisis pemodelan yang dikeluarkan BMKG dengan satuan kecepatan Knot.

Peta Monthly absolute significant wave height merupakan hasil pemodelan untuk menggambarkan kondisi tinggi gelombang maksimum bulanan pada suatu daerah pada bulan yang ditentukan. Kondisi gelombang laut terbagi menjadi empat kondisi yang memiliki tingkat Kategori yaitu:

- **SLIGHT** Kondisi Aman dengan Tinggi Gelombang 0.5 1.25 m
- **MODERATE** Kondisi Waspada dengan Tinggi Gelombang 1.25 2.5 m
- **ROUGH** Kondisi Bahaya dengan Tinggi Gelombang 2.5 4 m
- VERY ROUGH Kondisi Ekstrem dengan Tinggi Gelombang > 4

II.1 Arah dan Kecepatan Angin

Profil Arah dan Kecepatan Angin rata-rata di wilayah pelayanan BMKG Maritim Ambon pada bulan Agustus 2025 berdasarkan data pemodelan yang dikeluarkan BMKG didapatkan keadaan umum angin permukaan rata-rata di wilayah pelayanan BMKG Maritim Ambon yaitu berkisar antara 2 knot atau sekitar 4 km/jam hingga 20 knot atau sekitar 36 km/jam. Arah angin pada umumnya pada wilayah perairan Maluku berasal dari arah Timur hingga Tenggara. Hal ini dikarenakan wilayah Indonesia pada bulan Agustus 2025 merupakan masa dimana kondisi angin berada dalam kondisi angin Timuran, khususnya di wilayah Perairan Maluku.



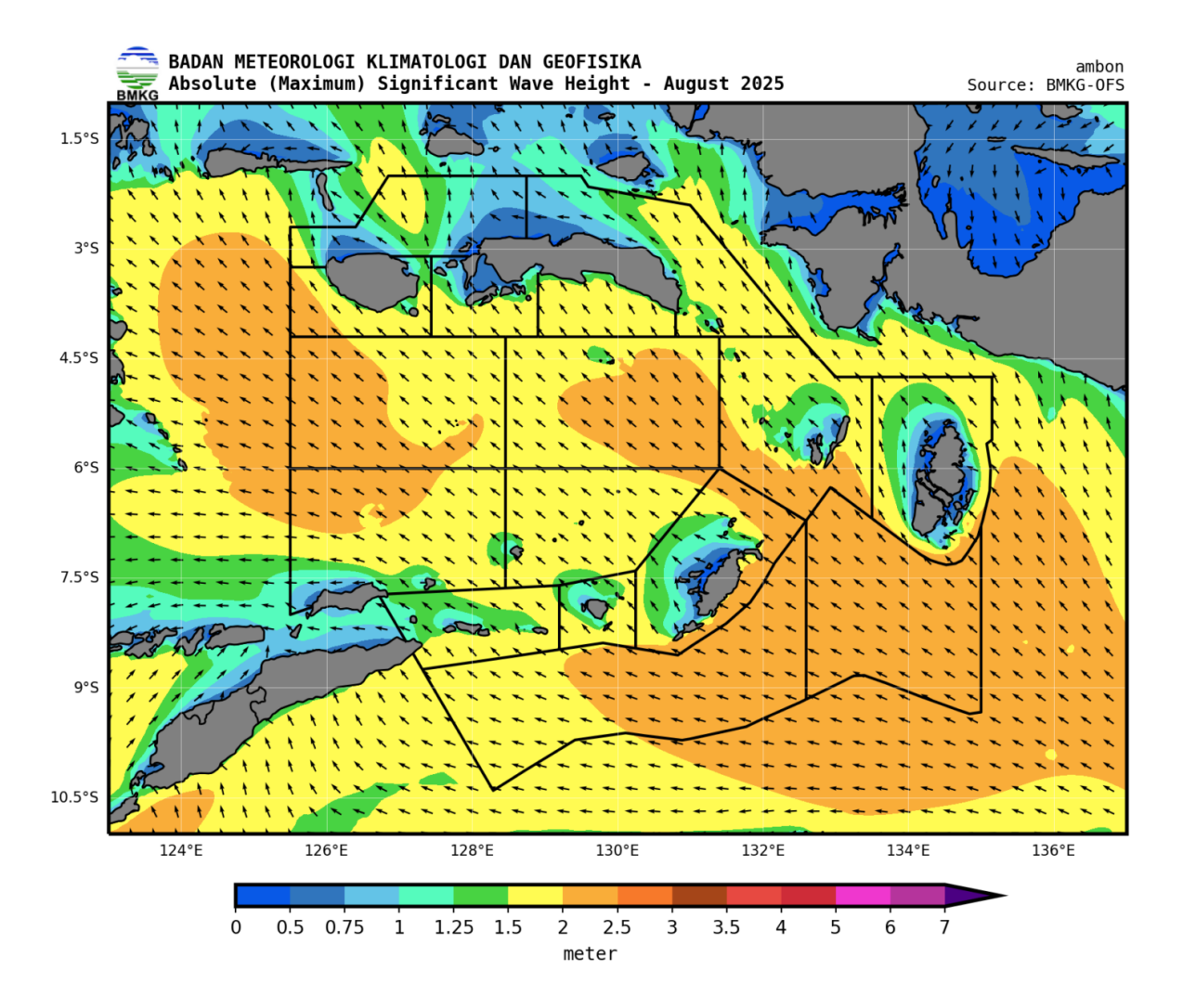
Gambar Arah dan Kecepatan Angin Rata-Rata Bulan Agustus 2025 (Sumber : BMKG Pusat)

Berdasarkan peta Arah dan Kecepatan Angin Rata-rata di atas, berikut merupakan uraian data Arah dan Kecepatan Angin pada 16 wilayah pelayanan BMKG Maritim Ambon

N I		Angin	
No	Lokasi (WILPEL)	Arah	Kecepatan (knot)
T.01	Laut Seram bagian Barat	Timur - Tenggara	2 - 20
T.02	Laut Seram bagian Timur	Timur - Tenggara	2 - 20
T.03	Perairan P. Buru	Timur - Tenggara	4 - 20
T.04	Perairan P.Ambon - Kep. Lease	Timur - Tenggara	2 - 15
T.05	Perairan Selatan P. Seram	Timur - Tenggara	2 - 15
T.06	Laut Banda Utara bagian Barat	Timur - Tenggara	10 - 20
T.07	Laut Banda Utara bagian Timur	Timur - Tenggara	10 - 20
T.08	Laut Banda Selatan bagian Barat	Timur - Tenggara	5 - 20
T.09	Laut Banda Selatan bagian Timur	Timur - Tenggara	10 - 20
T.10	Perairan Kep.Sermata - Kep.Leti	Timur - Tenggara	8 - 15
T.11	Perairan Kep.Babar	Timur - Tenggara	8 - 20
T.12	Perairan Kep.Tanimbar	Timur - Tenggara	10 - 20
T.13	Laut Arafuru bagian Barat	Timur - Tenggara	10 - 20
T.14	Perairan Kep.Kai	Timur - Tenggara	8 - 20
T.15	Perairan Kep.Aru	Timur - Tenggara	6 - 20
T.16	Laut Arafuru bagian Tengah	Timur - Tenggara	8 - 20

II.2 Gelombang Signifikan Rata-rata dan Tertinggi Absolut

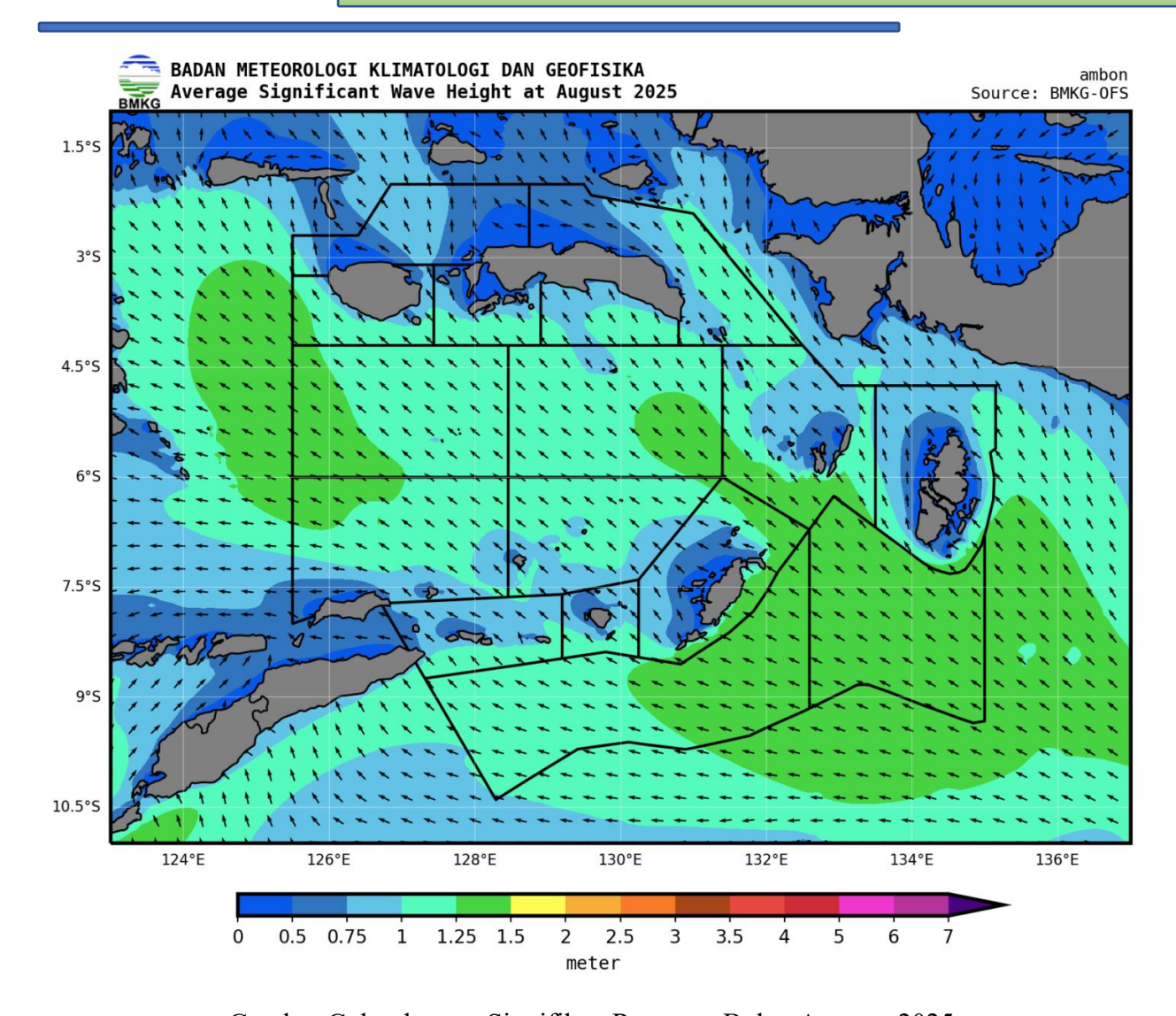
Pada bulan Agustus 2025, Berdasarkan data dari hasil model yang dikeluarkan BMKG didapatkan keadaan umum gelombang signifikan rata-rata dan gelombang signifikan tertinggi absolut yang merupakan nilai tertinggi dari gelombang signifikan yang terjadi selama periode waktu Bulan Agustus 2025 yang ditentukan untuk wilayah pelayanan BMKG Maritim Ambon yaitu berkisar antara 0.5 meter hingga 2.5 meter dengan kategori gelombang Sedang.



Gambar Gelombang Signifikan Tertinggi Absolut Bulan Agustus 2025 (Sumber : BMKG Pusat)

Berdasarkan peta gelombang signifikan tertinggi absolut, berikut merupakan uraian Gelombang Signifikan Tertinggi Absolut yang terjadi pada 16 wilayah pelayanan tanggung jawab BMKG Maritim Ambon.

No	Lokasi (WILPEL)	Ketinggian (m)
T.01	Laut Seram bagian Barat	2.0
T.02	Laut Seram bagian Timur	2.0
T.03	Perairan P. Buru	2.5
T.04	Perairan P.Ambon - Kep. Lease	2.0
T.05	Perairan Selatan P. Seram	2.0
T.06	Laut Banda Utara bagian Barat	2.5
T.07	Laut Banda Utara bagian Timur	2.5
T.08	Laut Banda Selatan bagian Barat	2.5
T.09	Laut Banda Selatan bagian Timur	2.5
T.10	Perairan Kep.Sermata - Kep.Leti	2.0
T.11	Perairan Kep.Babar	2.0
T.12	Perairan Kep.Tanimbar	2.5
T.13	Laut Arafuru bagian Barat	2.5
T.14	Perairan Kep.Kai	2.5
T.15	Perairan Kep.Aru	2.5
T.16	Laut Arafuru bagian Tengah	2.5



Gambar Gelombang Signifikan Rata-rata Bulan Agustus 2025 (Sumber : BMKG Pusat)

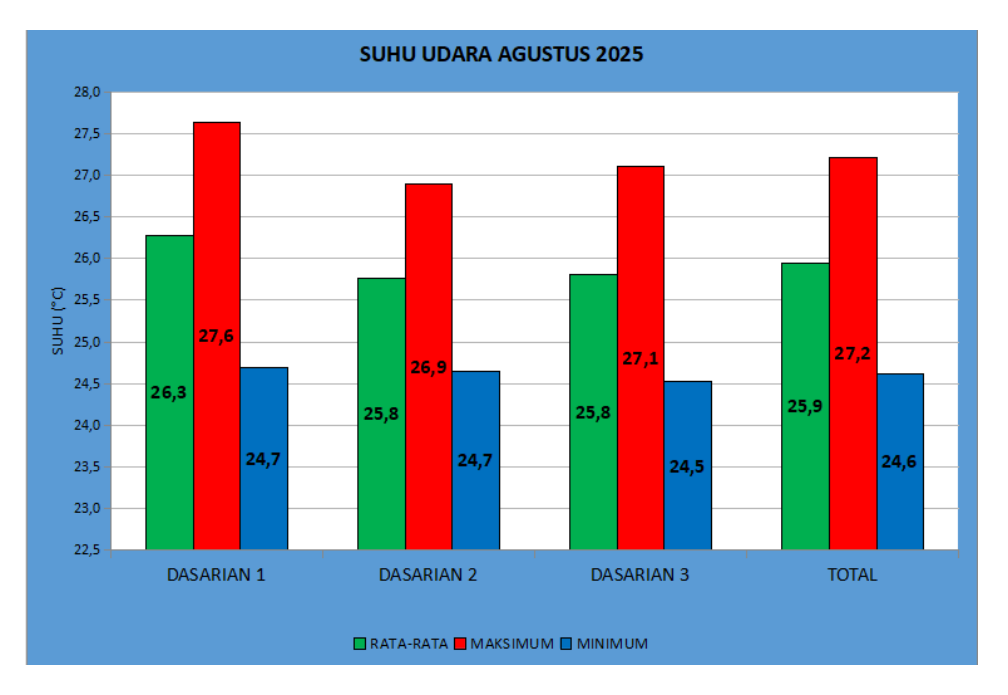
Berdasarkan peta gelombang signifikan tertinggi rata- rata, berikut merupakan uraian Gelombang Signifikan rata-rata yang terjadi pada 16 wilayah pelayanan tanggung jawab BMKG Maritim Ambon.

No	Lokasi (WILPEL)	Ketinggian (m)
T.01	Laut Seram bagian Barat	1.0
T.02	Laut Seram bagian Timur	1.25
T.03	Perairan P. Buru	1.25
T.04	Perairan P.Ambon - Kep. Lease	1.25
T.05	Perairan Selatan P. Seram	1.25
T.06	Laut Banda Utara bagian Barat	1.5
T.07	Laut Banda Utara bagian Timur	1.5
T.08	Laut Banda Selatan bagian Barat	1.5
T.09	Laut Banda Selatan bagian Timur	1.5
T.10	Perairan Kep.Sermata - Kep.Leti	1.25
T.11	Perairan Kep.Babar	1.25
T.12	Perairan Kep.Tanimbar	1.5
T.13	Laut Arafuru bagian Barat	1.5
T.14	Perairan Kep.Kai	1.5
T.15	Perairan Kep.Aru	1.25
T.16	Laut Arafuru bagian Tengah	1.5

II.3 PROFIL CUACA BULAN AGUSTUS 2025 STASIUN METEOROLOGI MARITIM AMBON

Profil cuaca merupakan gambaran singkat kondisi atau keadaan udara yang terjadi di suatu daerah atau wilayah dalam periode waktu tertentu. Pada profil cuaca bulan Agustus 2025 ini dilakukan analisis kondisi cuaca sinoptik beberapa parameter cuaca yang terdiri dari arah dan kecepatan angin, temperatur udara dan curah hujan dengan menggunakan data pengamatan permukaan tiap jam di Stasiun Meteorologi Maritim Ambon. Hal ini di lakukan untuk mendapatkan gambaran cuaca selama bulan Agustus 2025 di Stasiun Meteorologi Maritim Ambon.

TEMPERATUR UDARA



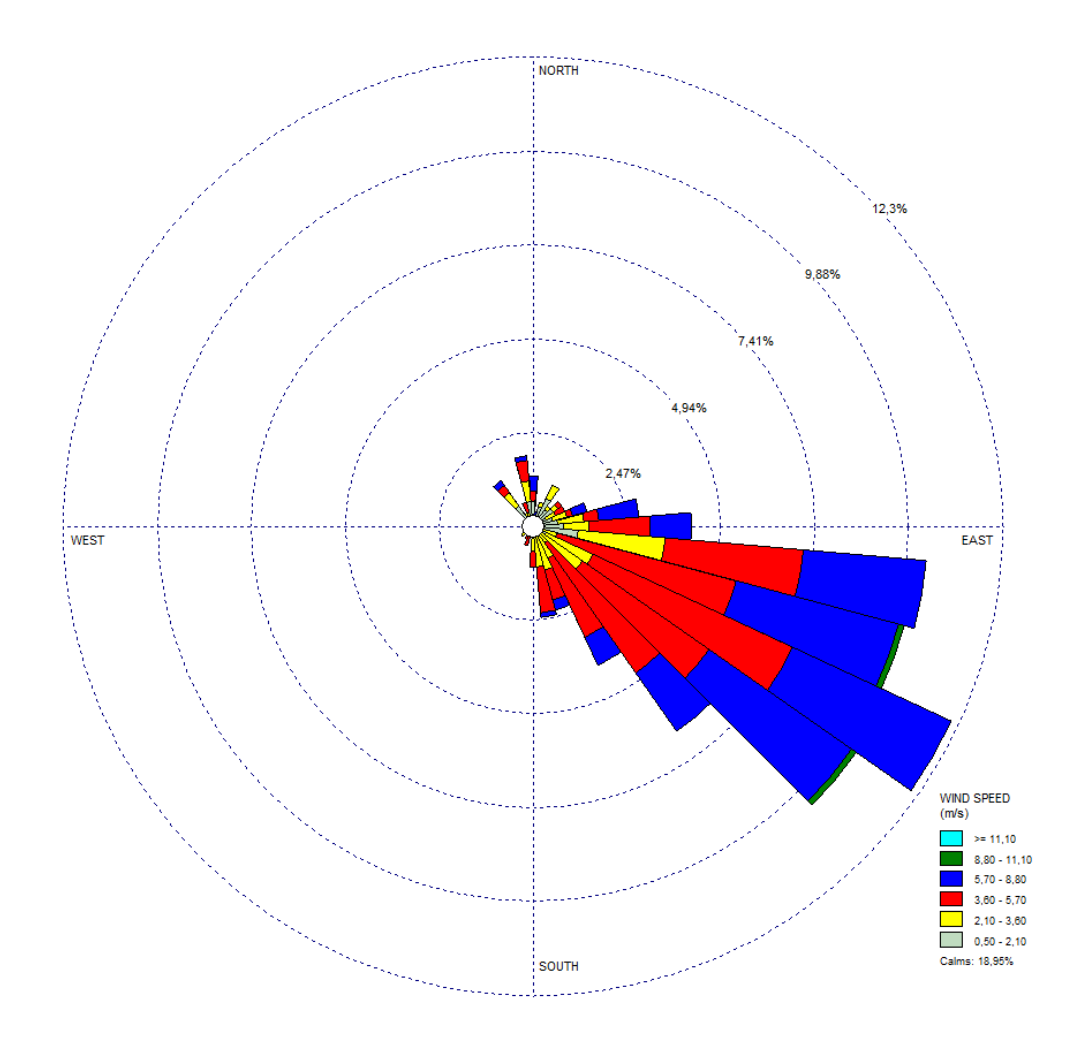
Grafik Suhu Udara Bulan Agustus 2025

Temperatur atau Suhu udara merupakan indikator cuaca yang erat hubungannya dengan penyinaran matahari, semakin lama dan kuat intensitas matahari bersinar akan mempengaruhi tinggi dan rendahnya suhu pada hari tersebut, adanya tutupan awan dan hujan pada hari tersebut juga menjadi faktor penting yang mempengaruhi suhu udara harian pada hari tersebut.

Berdasarkan grafik data suhu udara di atas, rata-rata suhu udara pada bulan Agustus 2025 adalah sebesar 25.9°C. Untuk rata-rata suhu maksimum pada bulan Agustus 2025 adalah sebesar 27.2°C, sedangkan rata-rata suhu udara minimum pada bulan Agustus 2025 yakni sebesar 24.6°C. Suhu rataan mengalami penurunan dari dasarian 1 ke dasarian 2, kemudian tetap di dasarian 3.

ANGIN PERMUKAAN

Angin permukaan merupakan salah satu unsur meteorologi yang keadaannya baik arah maupun kecepatannya mudah sekali berubah dan bervariasi. Pada bulan Agustus 2025 tercatat angin dominan bergerak dari arah Tenggara dengan rasio sebesar 33%, sedangkan angin calm/teduh terjadi sebanyak rasio 18.9%. Angin maksimum terjadi pada tanggal 19 Agustus 2025 pukul 6.00 WIT dengan kecepatan angin yang mencapai 20 knot atau 10 m/s dari arah Tenggara.

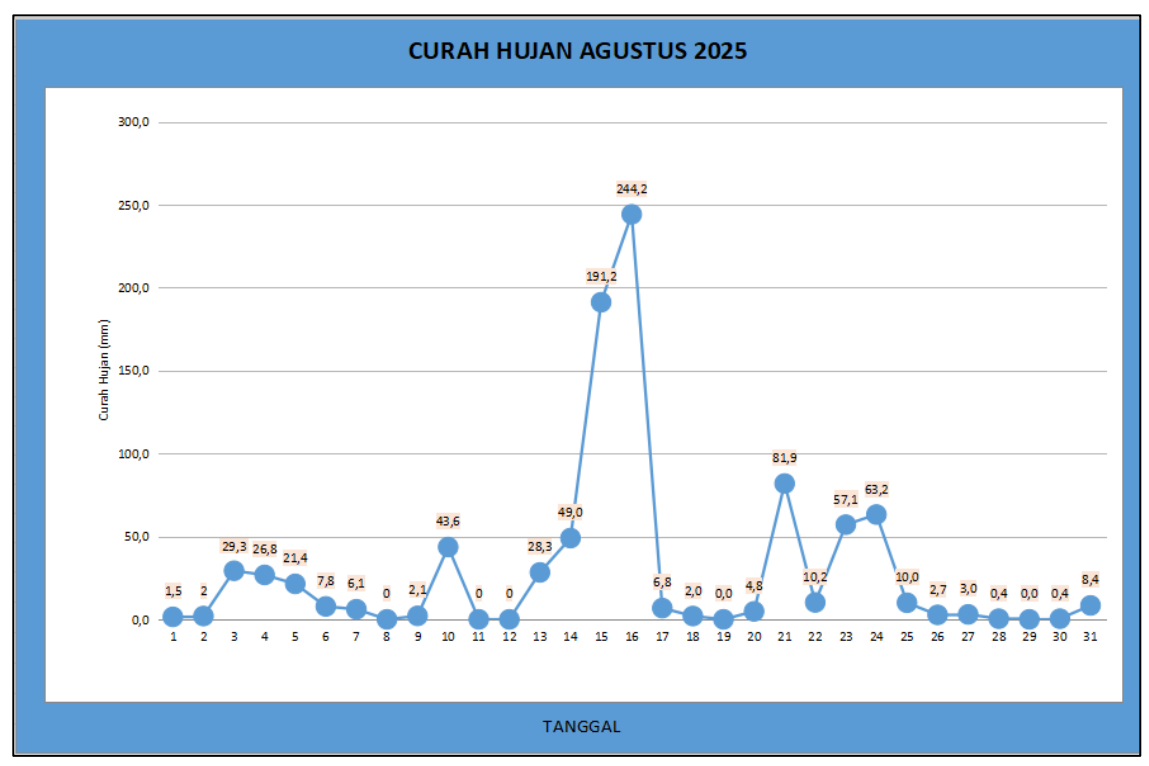


Gambar Windrose Bulan Agustus 2025

CURAH HUJAN

Curah hujan merupakan jumlah air yang jatuh di permukaan tanah selama periode waktu tertentu, diukur dalam milimeter (mm) tingginya di atas permukaan horizontal. Badan Meteorologi Klimatologi dan Geofisika (BMKG) menentukan kriteria intensitas curah hujan yaitu Hujan Sangat Ringan dengan intensitas < 1 mm/jam atau 5 mm/24 jam, Hujan Ringan dengan intensitas antara 1 - 5 mm/jam atau 5 - 20 mm/24 jam, Hujan Sedang dengan intesitas antara 5 - 10 mm/jam atau 20 - 50 mm/24 jam, Hujan Lebat dengan intensitas 10 - 20 mm/jam atau 50 - 100 mm/24 jam, dan Hujan Sangat Lebat dengan intensitas > 20 mm/jam atau > 100 mm/24 jam.

Berdasarkan Grafik Curah Hujan pada bulan Agustus 2025 menunjukan terjadinya 26 hari hujan. Total curah hujan yang terjadi selama periode bulan Agustus 2025 sebesar 904.2 mm, dengan rincian terdapat 9 hari dengan kategori Hujan Sangat Ringan, 6 hari dengan kategori Hujan Sedang, 3 hari hujan dengan kategori Hujan Lebat, dan 2 hari hujan dengan kategori Hujan Sangat Lebat. Curah hujan maksimum harian terjadi pada tanggal 16 Agustus 2025 dengan curah hujan tertakar 244.2 mm.



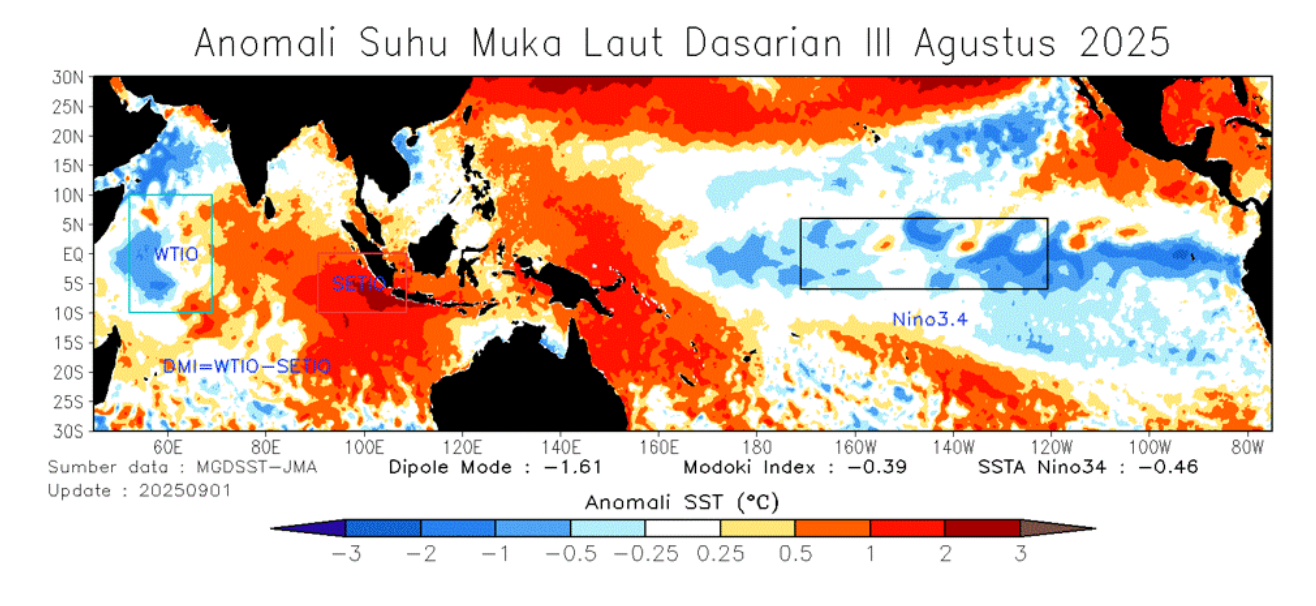
Gambar Curah Hujan Harian Bulan Agustus 2025

II.4 DINAMIKA ATMOSFER BULAN AGUSTUS-SEPTEMBER 2025

Prakiraan Cuaca merupakan suatu prediksi tentang cuaca. Adanya prakiraan cuaca memiliki banyak manfaat dalam mengetahui keadaan cuaca yang akan terjadi. Prakiraan cuaca sangat bermanfaat pada saat akan melakukan kegiatan baik dalam bidang penerbangan maupun maritim, juga pentingnya prakiraan cuaca dalam menjaga keselamatan diri. Untuk menentukan prakiraan cuaca, perlu dilakukan analisa dinamika Atmosfer yang bertujuan untuk mengetahui bagaimana karakteristik dari cuaca di suatu daerah.

SUHU MUKA LAUT (SST)

Suhu permukaan laut (Sea Surface Temperature/SST) merupakan salah satu parameter siklus atmosfer global yang mempunyai peran besar dalam pembentukan uap air dan awan di atmosfer hingga terjadinya hujan. Keragaman curah hujan di Indonesia diduga kuat dipengaruhi oleh suhu permukaan laut. Kondisi anomali SST Indonesia sangat berperan terhadap maju-mundur awal musim hujan dan panjang pendek musim hujan khususnya di wilayah Maluku. Tidak hanya berpengaruh terhadap waktu musim hujan dan kemarau, anomali SST dengan suhu permukaan laut yang lebih hangat dapat menimbulkan pertumbuhan awan konvektif yang dapat memengaruhi tinggi gelombang air laut.



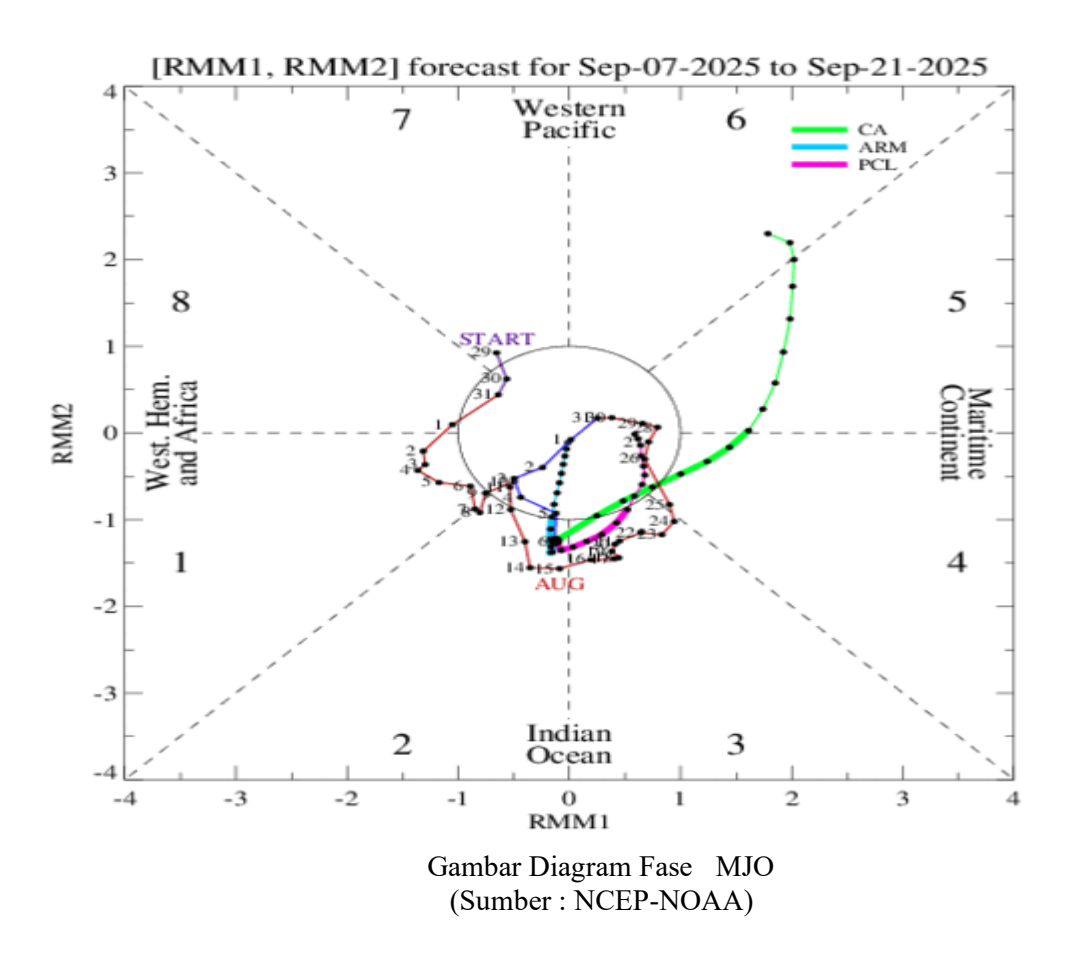
Gambar Prediksi Spasial Anomali SST (Sumber: BMKG Pusat)

Anomali SST Perairan Indonesia pada dasarian III Agustus 2025 secara umum diprediksi cenderung lebih hangat dibandingkan normalnya. Sementara itu, suhu muka laut di perairan sekitar Maluku secara umum lebih hangat daripada kondisi normalnya dengan nilai berkisar 0.5 hingga 2. Anomali SST di Samudra Hindia menunjukkan kondisi Indian Ocean Dipole (IOD) netral dengan

indeks -1.2. Anomali SST di Nino3.4 menunjukkan indeks sebesar -0.34, kondisi ini mengindikasikan ENSO Netral dan diprediksi akan tetap Netral hingga semester kedua tahun 2025.

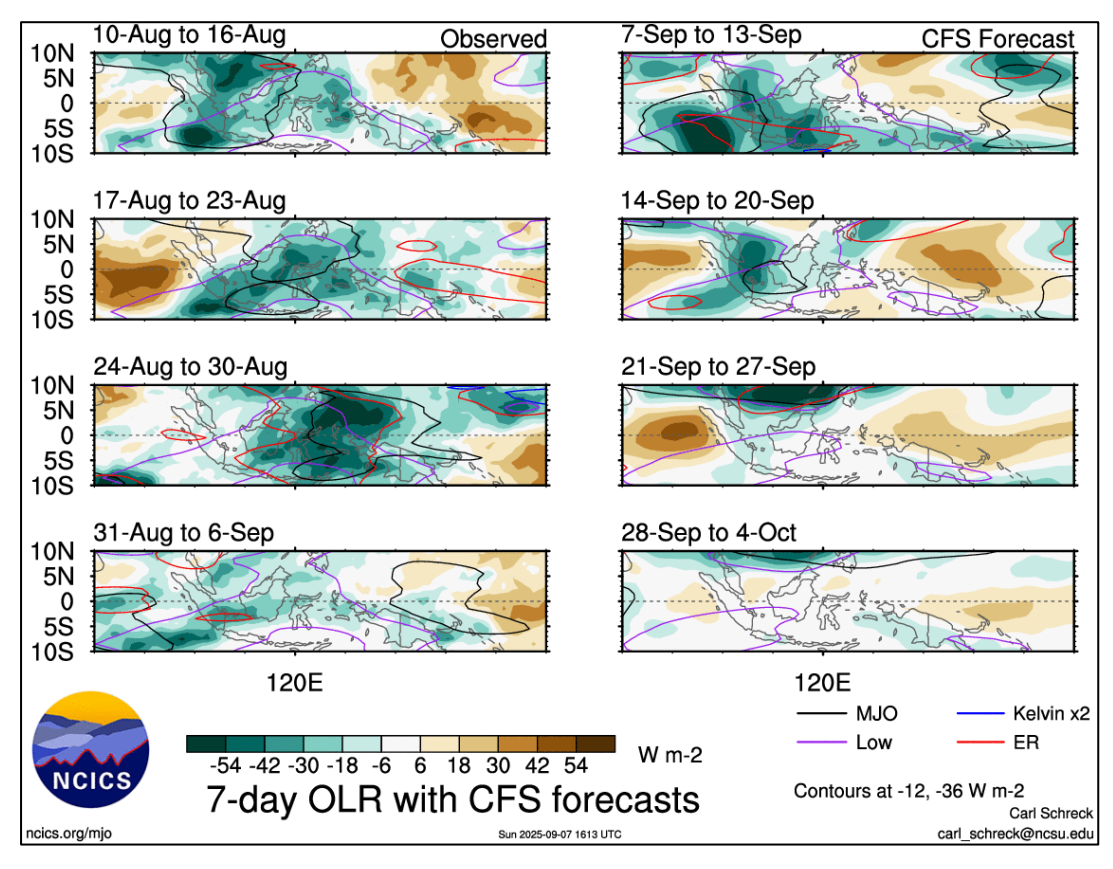
MADDEN JULIAN OSCILLATION (MJO)

Madden Julian Oscillation (MJO) merupakan fenomena dominan di kawasan ekuator dengan waktu periode osilasi berkisar antara 30 – 70 hari akibat pengaruh awan-awan konveksi yang terbentuk di atas Samudera Hindia (sebelah barat Indonesia) kemudian bergerak ke arah Timur di sepanjang garis ekuator. Ketika indeks berada dalam pusat lingkaran MJO dianggap lemah dan jika indeks berada di luar lingkaran tepatnya pada fase 4 dan 5 menunjukkan penjalaran MJO aktif kuat di wilayah Indonesia.



Fenomena MJO juga terlihat jelas pada variasi OLR yang terukur dari sensor inframerah satelit. OLR atau radiasi gelombang panjang adalah jumlah energi yang dipancarkan bumi ke angkasa. Berdasarkan diagram fase MJO, dapat diketahui bahwa MJO saat ini sementara berada di fase 6 dan dapat diketahui bahwa MJO dalam kondisi yang lemah sesuai dengan lintasannya yang berada pada bagian dalam lingkaran. Meskipun demikian, berdasarkan peta spasial terlihat bahwa MJO masih aktif dan memberikan dampak bagi beberapa wilayah di Indonesia, dimana

MJO terpantau di Perairan utara Sabang, Samudra Hindia barat Aceh, Kalimantan Barat bagian selatan, Kalimantan Tengah bagian selatan, Kalimantan Selatan, Selat Makassar bagian tengah dan selatan, Sulawesi Barat, Sulawesi Tengah, Sulawesi Selatan, Sulawesi Tenggara, Laut Jawa, dan Laut Arafura bagian selatan yang berpotensi menyebabkan peningkatan pertumbuhan awan hujan di wilayah tersebut.



Gambar Anomali OLR (Sumber : NCICS)

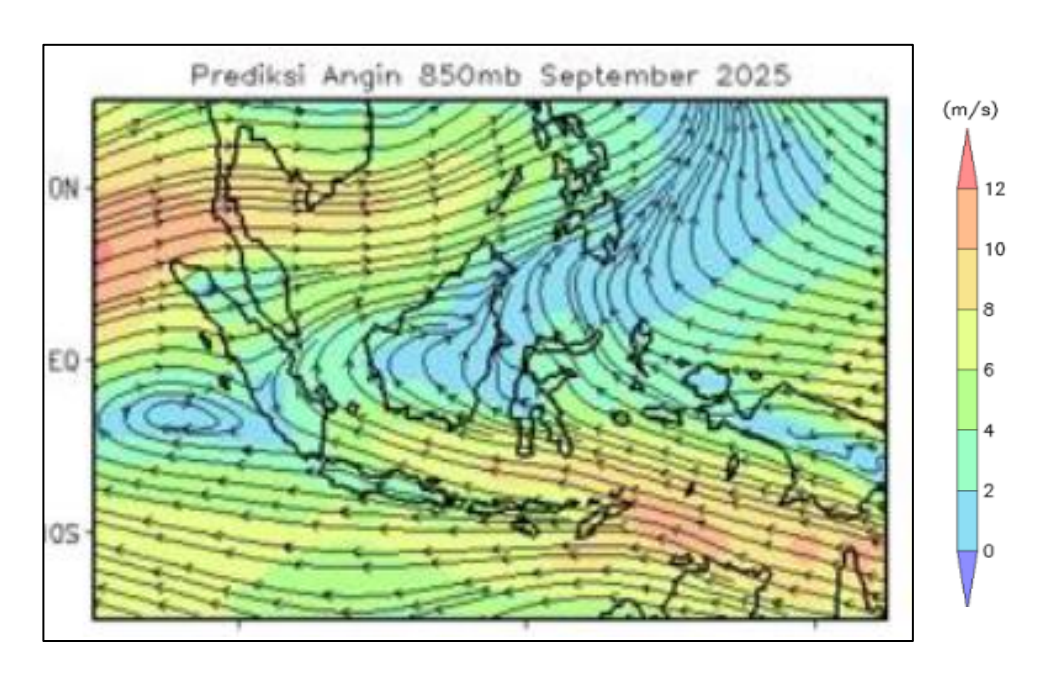
OLR (Outgoing Longwave Radiation) atau radiasi gelombang panjang adalah jumlah energi yang dipancarkan bumi ke angkasa. OLR dapat digunakan untuk mendeteksi adanya tutupan awan berdasarkan radiasi gelombang panjang yang dipancarkan dari bumi kembali ke angkasa. Semakin tinggi nilai indeks OLR mengindikasikan semakin sedikitnya tutupan awan pada daerah tersebut dan sebaliknya semakin rendah nilai indeks OLR mengindikasikan semakin banyaknya tutupan awan pada daerah tersebut.

Pada citra anomali OLR di wilayah Indonesia, warna hijau yang menunjukkan nilai negatif (Gambar Anomali OLR). Hal ini mengidentifikasikan radiasi balik yang diterima atmosfer dari bumi bernilai lebih kecil dari rata - rata karena adanya halangan di atmosfer yang diasumsikan

dengan banyaknya awan akibat sistem konvektif menguat. Sebaliknya, warna cokelat pada citra anomali OLR menunjukkan nilai positif yang mengidentifikasikan radiasi balik yang diterima atmosfer dari bumi bernilai lebih besar dari rata - ratanya karena tidak ada atau sedikitnya jumlah awan di atmosfer.

Pada Gambar Anomali OLR, terlihat bahwa nilai indeks OLR pada akhir dasarian III Agustus 2025 hingga dasarian I September 2025 di wilayah Perairan Maluku berkisar antara -42 W/m² hingga -6 W/m². Nilai indeks OLR menunjukan kondisi aktivitas konveksi yang kuat di wilayah Maluku menuju awal periode dasarian I September 2025. Pada dasarian II September 2025 menunjukkan nilai indeks dengan rentang nilai -18 W/m² hingga 6 W/m² yang mengartikan aktivitas konveksi mengalami kenaikan. Pada dasarian III September 2025 aktivitas konveksi mengalami kenaikan lagi dengan rentang nilai indeks antara -6 W/m² hingga 18 W/m² sehingga dapat disimpulkan bahwa masih ada potensi terjadinya hujan di wilayah Maluku hingga dasarian III bulan September 2025.

ANGIN 850 MB



Gambar Peta Prediksi Angin 850 mb Bulan September 2025 Sumber: BMKG Pusat

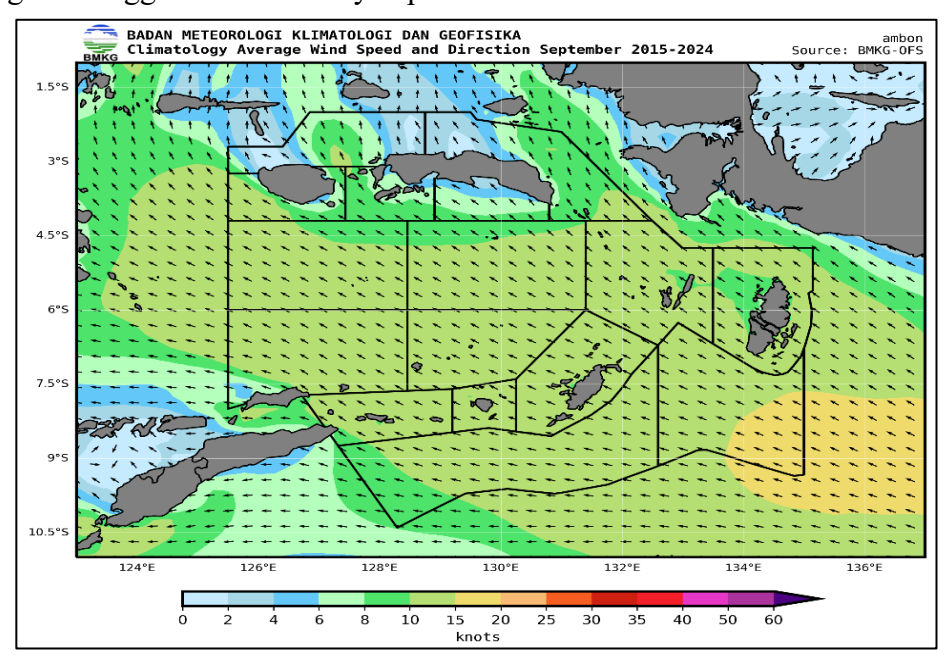
Prediksi Angin 850 mb pada dasarian bulan September 2025 menunjukkan angin timuran mendominasi di wilayah Indonesia. Pola belokan angin terjadi wilayah sepanjang ekuator Indonesia yang dapat mempengaruhi aktivitas konveksi di wilayah tersebut.

III. GAMBARAN UMUM CUACA MARITIM BULAN SEPTEMBER 2025

Posisi matahari pada bulan September 2025 berada di belahan Bumi Utara (BBU). Pada Periode ini tekanan udara di Belahan Bumi Utara (BBU) lebih rendah dibandingkan tekanan udara di Belahan Bumi Selatan (BBS). Hal ini menyebabkan adanya aliran Massa Udara / angin yang berasal dari BBS menuju ke arah BBU ditambah dengan pengaruh gaya Coriolis menyebabkan pergerakan massa udara / Angin yang berhembus Utara-Selatan dibelokan oleh gaya Coriolis akibat rotasi Bumi sehingga massa udara ini biasa dikenal dengan Angin Monsun / Muson Timur (pada periode ini angin Umumnya bertiup dari arah Timur hingga Tenggara).

III.1 Arah dan Kecepatan Angin Rata-rata

Data Model monthly average wind speed and direction merupakan gambar yang menunjukan rata rata angin maksimum berhembus yang didasarkan pada pemodelan. Gambar diatas merupakan gambar klimatologi pemodelan angin rata-rata 10 tahun yang digunakan sebagai acuan untuk melihat kondisi umum pergerakan angin pada bulan September tahun 2025. Secara umum, kondisi angin pada wilayah Maluku umumnya masih bertiup dari arah Timur hingga Tenggara dengan intensitas Kecepatan Angin bervariasi antara 4 - 20 knot dengan kecepatan angin tertinggi berada di wilayah perairan Laut Arafura.



Gambar Arah dan Kecepatan Angin Rata-Rata bulan September 2015 – 2024

BADAN METEOROLOGI KLIMATOLOGI DAN GEOFISIKA Climatology Average Significant Wave Height September 2015-2024 0.75 2.5 September 2015-2024 1.25 1.5

III.2 Gelombang Rata-rata dan Signifikan Tertinggi Absolut

Gambar Gelombang Signifikan rata-rata dan signifikan Tertinggi Absolut bulan Juli 2015 - 2024

(Sumber: BMKG Pusat)

Monthly Average significan dan absolute significant wave height merupakan hasil model untuk menggambarkan kondisi tinggi gelombang rata-rata bulanan dan maksimum bulanan pada suatu daerah pada bulan yang ditentukan. Merujuk data klimatologi pemodelan 10 tahun terakhir, kondisi klimatologi gelombang pada wilayah Maluku pada bulan Agustus didominasi oleh gelombang dengan kategori Sedang hingga Tinggi. Dengan gelombang Kategori Tinggi masih berpotensi terjadi di wilayah Laut Banda, Perairan Sermata Letti, Perairan Babar hingga Tanimbar, Perairan Kai, Perairan Selatan Aru dan Laut Arafuru.

III.3 PRAKIRAAN PASANG SURUT BULAN SEPTEMBER 2025

Fenomena pasang surut air laut dapat diartikan sebagai fenomena pergerakan naik turunnya permukaan air laut secara berkala yang diakibatkan oleh pengaruh dari kombinasi gaya gravitasi dari benda – benda astronomis, terutama matahari dan bulan. Gerakan pasang surut dipengaruhi oleh bentuk dasar laut, pada perairan di laut lepas atau tengah samudera tinggi pasang surut yang terjadi biasanya sekitar 30 – 60 cm. Namun, berbeda dengan perairan di wilayah pesisir pantai atau dekat dengan daratan yang mengalami tinggi pasang surut hingga beberapa meter.

Berikut merupakan prediksi pasang surut Provinsi Maluku yang terdiri dari 6 (enam) wilayah perairan untuk bulan September 2025 yaitu sebagai berikut :

1. Ambon

Berdasarkan data Pasang surut wilayah perairan Ambon diprediksi memiliki nilai maksimum mencapai 2,3 m.

03°	40' 1	0" S/	S - 1	28° 1	0' 45"	' T/E			SE	PTEM	BEF	VSE1	PTEM	1BER	202	5				W	aktu	/Time	: G.M	.T. +	09.0
$\sqrt{1}$	1	2	3	4	5	6	7	8	9	10	11	12	13	14	15	16	17	18	19	20	21	22	23	24	1/
1	1,2	1,4	1,6	1,8	2,0	2,1	2,0	1,9	1,6	1,3	1,0	0,8	0,6	0,6	* 0,6	0,8	1,0	1,1	1,2	1,3	1,3	* 1,3	1,3	1,2 *	1
2	1,3	1,4	1,5	1,7	1,9	2,0	2,0	* 1,9	1,8	1,6	1,3	1,0	0,8	0,6	0,6	* 0,7	0,8	0,9	1,1	1,2	1,3	1,3	1,3 *	1,3 *	2
3	1,3	1,4	1,4	1,6	1,7	1,8	1,9	1,9 *	1,9	1,7	1,5	1,3	1,1	0,8	0,7	0,6	* 0,7	0,7	0,9	1,0	1,2	1,3	1,3	1,4	3
4	1,4	* 1,4	* 1,4	1,4	1,5	1,6	1,8	1,8	1,9	* 1,8	1,7	1,6	1,4	1,1	0,9	0,7	0,6	* 0,6	0,7	0,9	1,0	1,2	1,3	1,4	4
5	1,5	* 1,5	1,4	1,4	1,4	* 1,4	1,5	1,6	1,7	1,8	1,8	+ 1,8	1,6	1,4	1,1	0,9	0,7	0,6	* 0,6	0,7	0,9	1,1	1,3	1,5	5
6	1,6	* 1,6	1,5	1,4	1,3	1,2	+ 1,2	1,4	1,5	1,7	1,8	1,9	* 1,8	1,7	1,4	1,1	0,8	0,6	0,6	* 0,6	0,8	1,0	1,3	1,5	6
7	1,7	1,7	* 1,6	1,4	1,2	1,1	1,0	* 1,1	1,2	1,4	1,7	1,9	1,9	+ 1,9	1,7	1,4	1,1	0,8	0,6	0,5 *	0,7	0,9	1,2	1,5	7
8	1,7	1,8	* 1,8	1,6	1,3	1,1	0,9	0,8 *	0,9	1,1	1,4	1,7	1,9	2,0	* 1,9	1,7	1,4	1,0	0,7	0,6 *	0,6	0,8	1,1	1,4	8
9	1,7	1,9	1,9	* 1,8	1,5	1,2	0,8	0,6	0,6	* 0,8	1,1	1,4	1,7	2,0	2,0	* 1,9	1,7	1,3	0,9	0,7	0,6	* 0,7	1,0	1,3	9
10	1,7	2,0	2,1	* 2,0	1,7	1,4	0,9	0,6	0,4	* 0,5	0,7	1,1	1,4	1,8	2,0	2,0	* 1,9	1,6	1,2	0,9	0,7	0,7	* 0,9	1,2	10
11	1,6	1,9	2,1	2,2	* 2,0	1,6	1,2	0,7	0,4	0,3	* 0,4	0,7	1,1	1,5	1,8	2,0 :	* 2,0	1,8	1,4	1,1	8,0	0,7	* 0,8	1,1	11
12	1,4	1,8	2,1	2,2	* 2,2	1,9	1,5	1,0	0,6	0,3	0,2	* 0,4	0,7	1,1	1,5	1,8	1,9	+ 1,8	1,6	1,3	1,0	0,8	0,8 *	1,0	12
13	1,3	1,7	2,0	2,2	2,3	* 2,1	1,8	1,3	0,9	0,5	0,2	0,2	* 0,4	0,8	1,2	1,5	1,7	1,8	* 1,7	1,5	1,3	1,0	0,9 *	1,0	13
14	1,2	1,5	1,8	2,1	2,2	* 2,2	2,0	1,6	1,2	0,8	0,4	0,3	* 0,3	0,5	0,8	1,2	1,4	1,6	1,7	* 1,6	1,4	1,2	1,1	1,0 *	14
15	1,1	1,3	1,6	1,9	2,1	2,2 .	* 2,1	1,9	1,5	1,1	0,8	0,5	0,3	* 0,4	0,6	0,8	1,1	1,4	1,5	1,6 *	1,5	1,4	1,3	1,2	15
16	1,2	* 1,3	1,5	1,7	1,9	2,1	2,1	* 2,0	1,8	1,5	1,1	0,8	0,5	0,4	• 0,5	0,6	0,8	1,1	1,3	1,4	1,5	* 1,5	1,4	1,4	16
17	1,3	1,3	* 1,3	1,5	1,7	1,8	1,9	2,0 *	1,9	1,7	1,5	1,2	0,9	0,6	0,5	0,5	* 0,6	0,8	1,0	1,2	1,4	1,5	1,5 *	1,5	17
18	1,4	1,4	1,3	* 1,3	1,4	1,6	1,7	1,8	1,9	* 1,8	1,7	1,5	1,3	1,0	0,7	0,6	0,5	• 0,6	0,8	1,0	1,2	1,4	1,6	1.6 *	18
19	1,6	1,5	1,4	1,3	1,3	* 1,3	1,4	1,5	1,7	1,8	1,8	* 1,8	1,6	1,4	1,1	0,8	0,6	0,5	* 0,6	0,8	1,0	1,3	1,5	1,7	19
20	1,7	* 1,7	1,5	1,3	1,2	1,1 +	× 1,1	1,2	1,4	1,6	1,8	1,9	* 1,8	1,7	1,4	1,1	0,8	0,6	0,6	* 0,6	0,8	1,1	1,4	1,6	20
21	1,8	1,8	* 1,7	1,4	1,2	1,0	0,9	* 1,0	1,1	1,3	1,6	1,8	1,9	* 1,9	1,7	1,4	1,1	0,8	0,6	0,6 *	0,7	1,0	1,3	1,6	21
22	1,8	1,9	* 1,8	1,6	1,3	1,0	0,8	0,7 *	0,8	1,0	1,3	1,6	1,9	2,0	* 1,9	1,7	1,4	1,1	0,8	0,7 *	0,7	0,9	1,2	1,5	22
23	1,8	1,9	1,9	+ 1,8	1,5	1,1	0,8	0,6	0,6	* 0,7	1,0	1,4	1,7	1,9	2,0	* 1,9	1,6	1,3	1,0	0,8	0,7	* 0,8	1,1	1,4	23
24	1,7	1,9	2,0	+ 1,9	1,6	1,3	0,9	0,6	0,4	* 0,5	0,7	1,1	1,4	1,7	1,9	1,9	1,8	1,5	1,2	1,0	0,8	* 0,9	1,1	1,3	24
25	1,7	1,9	2,0	* 2,0	1,8	1,4	1,0	0,7	0,4	0,3	* 0,5	0,8	1,1	1,5	1,7	1,9	1,9	1,7	1,4	1,2	1,0	0,9	* 1,1	1,3	25
26	1,6	1,9	2,1	2,1	* 1,9	1,6	1,2	0,8	0,5	0,3	* 0,3	0,5	0,8	1,2	1,5	1,7	1,8	* 1,7	1,5	1,3	1,1	1,0	* 1,1	1,3	26
27	1,5	1,8	2,0	2,1	* 2,1	1,8	1,5	1,0	0,7	0,4	0,3	* 0,4	0,6	0,9	1,3	1,5	1,7	1,7	* 1,6	1,4	1,2	1,1	1,1 *	1,2	27
28	1,5	1,7	2,0	2,1	* 2,1	2,0	1,7	1,3	0,9	0,6	0,4	0,3	* 0,5	0,7	1,0	1,3	1,5	1,6	* 1,6	1,5	1,3	1,2	1,2 *	1,2	28
29	1,4	1,6	1,9	2,1	2,1	* 2,0	1,8	1,5	1,2	0,8	0,5	0,4	* 0,4	0,6	0,8	1,1	1,3	1,4	1,5	* 1,5	1,4	1,3	1,2 *	1,2	29
30	1,3	1,5	1,7	1,9	2,0	* 2,0	1,9	1,7	1,4	1,1	0,8	0,6	0,5	* 0,6	0,7	0,9	1,1	1,3	1,4	1,4 *	1,4	1,3	1,3	1,3 *	30

Tabel Prakiraan pasang surut Ambon bulan September 2025 (Sumber : Pusat Hidrografi dan Oseanografi TNI Angkatan Laut)

2. Amahai

Berdasarkan data Pasang surut wilayah perairan Amahai diprediksi memiliki nilai maksimum mencapai 2,5 m.

30	18' 03	3.9" S	/S -	128°	56' 5	8.6"	Γ/E		SE	PTEN	IBEF	VSEI	TEM	IBEF	202	25				W	aktu	Time	: G.N	1.T. +	09.0
\I	1	2	3	4	5	6	7	8	9	10	11	12	13	14	15	16	17	18	19	20	21	22	23	24	1
1	1,4	1,6	1,8	2,0	2,1	2,2	* 2,1	2,0	1,8	1,5	1,2	1,0	0,9	8,0	* 0,9	1,1	1,2	1,4	1,5	1,5	* 1,5	1,5	1,5	1,4 +	1
2	1,5	1,5	1,7	1,8	2,0	2,1	2,1 *	2,1	1,9	1,7	1,5	1,2	1,0	0,9	0,9	* 0,9	1,0	1,2	1,3	1,4	1,5	1,5	1,5	* 1,5 *	2
3	1,5	1,6	1,6	1,7	1,8	1,9	2,0	2,1	. 2,0	1,9	1,7	1,5	1,3	1,1	1,0	0,9	+ 0,9	1,0	1,1	1,3	1,4	1,5	1,6	1,6 *	1 3
4	1,6	1,6	1,6 :	1,6	1,7	1,7	1,8	1,9	2,0	2,0	* 1,9	1,8	1,6	1,3	1,1	0,9	0,8	0,8	* 0,9	1,1	1,3	1,5	1,6	1,7	١,
5	1,7	1,7	1,6	1,5	1,5	* 1,5	1,6	1,7	1,9	2,0	2,0	* 2,0	1,9	1,6	1,4	1,1	0,9	0,8	* 0,8	0,9	1,1	1,4	1,6	1,8	П
3	1,8 *	1,8	1,7	1,5	1,4	1,3	* 1,3	1,5	1,6	1,9	2,0	2,1	* 2,1	1,9	1,7	1,3	1,0	8,0	0,7	* 0,8	0,9	1,2	1,5	1,8	L
7	2,0	2,0 *	1,9	1,6	1,4	1,2	1,1 =	1,2	1,3	1,6	1,9	2,1	2,2	* 2,2	2,0	1,6	1,3	0,9	0,7	0,7	* 0,8	1,1	1,4	1,8	П
3	2,0	2,1 *	2,0	1,8	1,5	1,2	1,0	0,9	* 1,0	1,3	1,6	2,0	2,2	2,3	* 2,2	2,0	1,6	1,2	0,8	0,7	* 0,7	0,9	1,3	1,7	18
9	2,0	2,2	2,2 .	2,0	1,7	1,3	1,0	0,7	0,7	* 0,9	1,3	1,7	2,0	2,3	2,4	* 2,2	1,9	1,4	1,0	0,8	0,7	* 0,8	1,1	1,5	L
0	1,9	2,2	2,4 ×	2,3	2,0	1,5	1,1	0,7	0,6	* 0,6	0,9	1,3	1,7	2,1	2,3	* 2,3	2,1	1,7	1,3	1,0	0,7	* 0,7	1,0	1,3	T
1	1,8	2,2	2,4	2,4	* 2,2	1,8	1,3	0,9	0,6	0,5	* 0,6	0,9	1,4	1,8	2,1	2,3	* 2,2	2,0	1,6	1,2	0,9	0,8	* 0,9	1,2	Т
2	1,6	2,0	2,3	2,5	. 2,4	2,1	1,7	1,2	0,7	0,5	0,4	* 0,6	1,0	1,4	1,8	2,1	2,2	* 2,1	1,8	1,5	1,2	1,0	0,9	* 1,1	L
3	1,4	1,8	2,2	2,4	2,5	* 2,3	2,0	1,5	1,0	0,7	0,5	* 0,5	0,7	1,0	1,5	1,8	2,0	2,1	* 2,0	1,7	1,4	1,2	1,1	+ 1,1	L
1	1,3	1,6	2,0	2,3	2,4	* 2,4	2,2	1,8	1,4	1,0	0,7	0,5	* 0,6	0,8	1,1	1,4	1,7	1,9	1,9	* 1,8	1,6	1,4	1,3	1,2 *	L
5	1,3	1,5	1,7	2,0	2,3	2,3	+ 2,3	2,1	1,7	1,3	1,0	0,7	0,6	* 0,6	0,8	1,1	1,4	1,6	1,8	1,8	* 1,8	1,6	1,5	1,4	L
3	1,3 +	1,4	1,6	1,8	2,0	2,2	2,2 +	2,2	2,0	1,7	1,4	1,1	0,8	0,7	* 0,7	0,8	1,0	1,3	1,5	1,7	1,8	* 1,8	1,7	1,6	L
7	1,5	1,5 *	1,5	1,6	1,7	1,9	2,0	2,1	* 2,1	1,9	1,7	1,4	1,2	0,9	0,8	0,7	* 0,8	1,0	1,2	1,4	1,6	1,8	1,8	* 1,8	П
8	1,7	1,6	1,5	1,5	a 1,5	1,6	1,8	1,9	2,0	2,0	* 2,0	1,8	1,5	1,3	1,0	0,8	0,7	+ 0,8	0,9	1,2	1,4	1,7	1,8	1,9 *	L
9	1,9	1,8	1,6	1,5	1,4	* 1,4	1,5	1,6	1,8	2,0	2,1	* 2,0	1,9	1,6	1,3	1,0	0,8	0,7	* 0,7	0,9	1,2	1,5	1,8	2,0	L
0	2,0 *	1,9	1,8	1,5	1,3	1,2	1,2 *	1,3	1,5	1,8	2,0	2,1	* 2,1	2,0	1,7	1,3	1,0	0,8	0,7	* 0,8	1,0	1,3	1,6	1,9	1
1	2,1 +	2,1	1,9	1,7	1,4	1,1	1,0 *	1,0	1,2	1,5	1,8	2,1	2,2	* 2,2	2,0	1,7	1,3	1,0	0,7	0,7	* 0,8	1,1	1,5	1,8	1
2	2,1	2,2 +	2,1	1,8	1,5	1,2	0,9	0,8	. 0,9	1,2	1,5	1,9	2,1	2,3	* 2,2	1,9	1,6	1,2	0,9	0,8	* 0,8	1,0	1,3	1,7	1
3	2,0	2,2 *	2,2	2,0	1,7	1,3	1,0	0,8	0,7	* 0,9	1,2	1,6	2,0	2,2	2,3	* 2,1	1,9	1,5	1,1	0,9	0,8	* 1,0	1,2	1,6	1
4	1,9	2,2	2,3 :	2,1	1,8	1,5	1,1	0,8	0,6	* 0,7	0,9	1,3	1,7	2,0	2,2	* 2,2	2,0	1,7	1,4	1,1	0,9	* 1,0	1,2	1,5	L
5	1,9	2,1	2,3 .	2,2	2,0	1,6	1,2	0,8	0,6	0,6	* 0.7	1,0	1,4	1,8	2,0	2,2	* 2,1	1,9	1,6	1,3	1,1	1,1	* 1,2	1,4	1 2
6	1,8	2,1	2,3	2,3	* 2,1	1,8	1,4	1,0	0,7	0,5	* 0,6	0,8	1,1	1,5	1,8	2,0	2,0	+ 1,9	1,7	1,4	1,2	1,1	+ 1,2	1,4	1:
7	1,7	2,0	2,2	2,3	* 2,2	2,0	1,6	1,2	0,8	0,6	0,6	* 0,7	0,9	1,3	1,6	1,8	1,9	* 1,9	1,8	1,6	1,4	1,3	* 1,3	1,4	1 2
8	1,6	1,9	2,1	2,3	* 2,3	2,1	1,8	1,4	1,1	0,8	0.6	* 0,6	0,8	1,0	1,3	1,6	1,8	1,8	* 1,8	1,6	1,5	1,3	1,3	* 1,4	1 2
9	1,6	1,8	2,0	2,2	2,3	* 2,2	2,0	1,7	1,3	1,0	0,8	0,7	* 0,7	0,9	1,1	1,4	1,6	1,7	1,7	* 1,6	1,5	1,4	1,4	* 1,4	L
0	1,5	1.7	1,9	2,1	2,2	* 2.2	2.1	1.8	1,6	1,3	1,0	0,8	0.8	* 0,8	1,0	1,2	1.4	1.5	1.6	1,6	* 1.6	1.5	1,5	1,5 *	13

Tabel Prakiraan pasang surut Amahai bulan September 2025 (Sumber : Pusat Hidrografi dan Oseanografi TNI Angkatan Laut)

3. Tual

Berdasarkan data Pasang surut wilayah perairan Tual diprediksi memiliki nilai maksimum mencapai 2,4 m.

5° 3	7' 34	1" S/S	- 1.	32° 4	4' 33"	T/E				SE	PTE	ME	BER	SEP.	ΓEM	BER	2025	;					V	Vak	tu/T	ime	: G.	M.T. +	09
1	1	2	3	4	5	6	7	8	3	9	10		11	12	13	14	15	16	17	18	19	20		21	2	22	23	24	j
1	1,1	1,3	1,5	1,7	1,9	2,1	2,1	+ 2,	0	1,7	1,4		1,1	0,8	0,6	0,6	* 0,6	0,7	0,9	1,1	1,3	1,3		1,4	* 1	,3	1,3	1,2 ,	ŀ
	1,2	1,3	1,4	1,6	1,8	1,9	2,0	* 2,	0	1,9	1,6		1,4	1,1	0,9	0,7	0,6	* 0,7	0,7	0,9	1,0	1,2		1,3	1	,3	1,3	* 1,3	Т
3	1,3 *	1,3	1,4	1,5	1,6	1,7	1,9	1,	9 *	1,9	1,8		1,6	1,4	1,2	0,9	0,8	0,7	0,6	* 0,7	0,8	1,0)	1,1	- 1	,3	1,4	1,4	П
П	1,4 *	1,4	1,4	+ 1,4	1,4	1,5	1,6	1,	7	1,8	1,9	*	1,8	1,7	1,5	1,2	1,0	0,8	0,6	0,6	* 0,6	0,8	1	1,0	- 1	,2	1,4	1,5	1
5	1,5 +	1,5	1,4	1,4	1,3	1,3	* 1,4	1,	5	1,6	1,8		1,9	1,9	+ 1,8	1,6	1,3	1,0	0,7	0,6	0,5	0,6	,	0,8	- 1	,0	1,3	1,5	П
5	1,6	1,7 .	1,6	1,4	1,2	1,1	1,1	. 1,	2	1,3	1,6		1,8	2,0	2,0	* 1,9	1,6	1,3	1,0	0,7	0,5	0,5	*	0,6	0	.9	1,2	1,5	1
1	1,7	1,8 *	1,8	1,6	1,3	1,0	0,9	0,	9 *	1,0	1,2		1,6	1,9	2,1	2,1	* 2,0	1,6	1,3	0,9	0,5	0,4	*	0,5	0	,7	1,1	1,5	П
3	1,8	2,0 +	2,0	1,8	1,5	1,1	0,8	0,	6 *	0,6	0,9		1,2	1,6	2,0	2,2	* 2,2	2,0	1,6	1,1	0,7	0,4		0,4	* 0	,5	0,9	1,3	ı
	1,7	2,0	2,1	* 2,0	1,7	1,3	0,8	0,	5	0,4	* 0,5		0,8	1,3	1,7	2,1	2,3	* 2,2	1,9	1,5	1,0	0,6		0,4	* 0	,4	0,7	1,1	ı
0	1,6	2,0	2,3	* 2,3	2,0	1,6	1,0	0,	6	0,3	0,2	*	0,4	0,8	1,3	1,8	2,2	2,3	* 2,1	1,8	1,3	0,9		0,5	0	,4 *	0,6	0,9	t
1	1,4	1,9	2,3	2,4	2,3	1,9	1,4	0,	8	0,4	0,1	*	0,1	0,4	0,9	1,4	1,9	2,2	2,2	* 2,0	1,6	1,2		0,8	0	,5 *	0,5	0,8	†
2	1,2	1,7	2,1	2,4	2,4	* 2,2	1,7	1,	1	0,6	0,2		0,0	+ 0,2	0,5	1,0	1,5	1,9	2,1	* 2,1	1,8	1,5		1,1	0	,7	0,6	* 0,7	1
3	1,0	1,5	1,9	2,3	2,4	* 2,4	2,0	1,	5	1,0	0,5		0,2	0,1	* 0,2	0,6	1,1	1,5	1,8	2,0	* 1,9	1,7		1,3	1	,0	0,8	0.8	k
4	0,9	1,2	1,7	2,1	2,3	2,4	* 2,2	1,	9	1,4	0,9		0,4	0,2	0,2	* 0,3	0,7	1,1	1,5	1,7	1,8 +	1,8		1,6	1	,3	1,0	0,9	*
5	0,9	1,1	1,4	1,8	2,1	2,3	2,3	* 2,	1	1,7	1,3		0,9	0,5	0,3	0,3	* 0,4	0,7	1,1	1,4	1,6	1,7		1,6	1	,5	1,3	1,2	1
6	1,1 +	1,1	1,3	1,5	1,8	2,0	2,1	* 2,	1	1,9	1,7		1,3	0,9	0,6	0,4	0,4	* 0,5	0,7	1,0	1,3	1,5		1,6	1	6 *	1,5	1.4	ı
7	1,3	1,2 *	1,2	1,3	1,5	1,7	1,9	2,	0	2,0	* 1,9		1,7	1,4	1,0	0,8	0,5	0,5	* 0,5	0,7	0,9	1,2		1,4	1	,6	1,6	* 1.6	1
8	1,5	1,4	1,3	1,2	* 1,3	1,4	1,5	1,	7	1,8	1,9	*	1,9	1,7	1,5	1,2	0,9	0,6	0,5	0,5	* 0,6	0,8		1,1	1	.4	1.6	1.7	ı
9	1,7	1,6	1,5	1,3	1,2	1,1	+ 1,2	1,	3	1,6	1,8		1,9	1,9	* 1,8	1,6	1,3	0,9	0,6	0,5	0,4	0,6		0,8	1	,2	1,5	1,7	1
0	1,9 *	1,8	1,7	1,4	1,2	1,0	0,9	* 1,	0	1,2	1,5		1,8	2,0	2,0	* 1,9	1,7	1,3	0,9	0,6	0,4	0,4	*	0,6	. 0	,9	1,3	1,7	t
1	1,9	2,0 *	1,9	1,6	1,3	1,0	0,8	0,	7 *	0,8	1,1		1,5	1,8	2,0	2,1	2,0	1,7	1,3	0,9	0,6	0,4	*	0,5	0	.7	1.1	1,5	†
2	1,8	2,0 *	2,0	1,8	1,5	1,1	0,7	0,	6 *	0,6	0,8		1,1	1,5	1,9	2,1	2,2	* 2,0	1,6	1,2	0,8	0,5		0,5	+ 0	,6	0,9	1,3	ı
3	1,8	2,0	2,1	* 2,0	1,7	1,2	0,8	0,	5	0,4	* 0,5		0,8	1,2	1,6	2,0	2,2	* 2,1	1,9	1,5	1,1	0,7		0,6	* 0	,6	0.8	1,2	ı
4	1,6	2,0	2,2	+ 2,1	1,9	1,5	1,0	0,	6	0,3	0,3	*	0,5	0,9	1,3	1,7	2,0	2,1	* 2.0	1.7	1,3	1,0		0,7	0	7 *	0.8	1,1	ı
5	1,5	1,9	2,1	2,2	* 2,0	1,7	1,2	0,	7	0,4	0,2		0,3	0,6	1,0	1,4	1,8	2,0	2,0	* 1,9	1,5	1,2		0,9	0	.8 +	0.8	1,1	ı
6	1,4	1,8	2,1	2,2	* 2,1	1,8	1,4	0,	9	0,5	0,2		0,2	* 0,4	0,7	1,1	1,5	1,8	1,9	+ 1,9	1,7	1,4		1,1		9	0,9	* 1,1	ı
7	1,4	1,7	2,0	2,2	* 2,2	2,0	1,6	1,	2	0,7	0,4		0,2	+ 0,3	0,5	0,9	1,2	1,6	1,8	1,8	* 1.7	1,5		1.2	1	.0	1.0	+ 1.1	1
8	1,3	1,6	1,9	2,1	2,2 4	2,1	1,8	1,	4	1,0	0,6		0,4	0,3	* 0.4	0,7	1,0	1,3	1.6		* 1.6	1.5		1,3		2	1.1	* 1.1	1
9	1,3	1,5	1,8	2,0	2,2 .	2,1	2,0	1,	6	1,3	0,9		0,6	0,4	0,4	* 0,5	0,8	1.1	1.3	1,5	1.5 +			1,4		.3	1.2	1.1 +	
0	1,2	1,4	1,6	1,9	2.0	2.1	* 2.0	1,	8	1.5	1.2		0.9	0.6	0.5	+ 0.5	0.7	0.9	1.1	1,3	1.4	1.4		1.4	_	.3	1.3	1,2 +	_

Tabel Prakiraan pasang surut Tual bulan September 2025 (Sumber : Pusat Hidrografi dan Oseanografi TNI Angkatan Laut)

4. Dobo

Berdasarkan data Pasang surut wilayah perairan Dobo diprediksi memiliki nilai maksimum mencapai 2,6 m.

05° -	45' 2	2.90"	S/S	- 134	1° 14'	18.85	5" T/E		SE	PTEM	IBE	R/SEI	TE	иве	R 20	25				W	aktu/	Time	: G.N	1.T. + (09.0
$\frac{1}{1}$	1	2	3	4	5	6	7	8	9	10	11	12	13	14	15	16	17	18	19	20	21	22	23	24	1
1	1,4	1,5	1,7	1,9	2,1	2,3	2,3	* 2,1	1,9	1,6	1,3	1,0	0,9	0,8	* 0,8	0,9	1,1	1,3	1,4	1,5	1,5	* 1,5	1,5	1,4 *	1
2	1,4	1,5	1,7	1,8	2,0	2,1	2,2	* 2,2	2,0	1,8	1,6	1,3	1,1	0,9	0,8	* 0,8	0,9	1,1	1,2	1,4	1,5	1,5	1,5	1,5	2
3	1,5	1,6	1,6	1,7	1,8	2,0	2,0	2,1	* 2,1	2,0	1,8	1,6	1,3	1,1	1,0	0,9	0,8 *	0,9	1,0	1,2	1,3	1,5	1,6	1,6	3
4	1,7 ,	* 1,7	1,6	* 1,7	1,7	1,7	1,8	1,9	2,0	2,0	* 2,0	1,8	1,6	1,4	1,2	1,0	0,8	0,8	* 0,8	1,0	1,2	1,4	1,6	1,7	4
5	1,8 :	* 1,8	1,7	1,6	1,6	1,5	* 1,6	1,7	1,8	1,9	2,0	2,0	* 1,9	1,7	1,5	1,2	0,9	0,7	0,7	* 0,8	1,0	1,2	1,5	1,7	5
6	1,9	1,9	1,8	1,7	1,5	1,4	1,3	* 1,4	1,5	1,7	1,9	2,1	2,1	* 2,0	1,8	1,5	1,1	0,8	0,7	0,6	* 0,8	1,1	1,4	1,7	6
7	2,0	2,1 *	2,0	1,8	1,6	1,3	1,1	1,1	* 1,2	1,4	1,7	2,0	2,2	2,2	e 2,1	1,8	1,4	1,0	0,7	0,6	* 0,6	0,9	1,2	1,7	7
8	2,0	2,2	2,2	* 2,0	1,7	1,4	1,1	0,9	. 0,9	1,1	1,4	1,8	2,1	2,3	* 2,3	2,1	1,7	1,3	0,9	0,6	0,6	* 0,7	1,1	1,5	8
9	1,9	2,3	2,4	2,3	2,0	1,6	1,1	0,8	0,6	* 0,7	1,0	1,4	1,9	2,2	2,4	* 2,3	2,0	1,6	1,2	0,8	0,6	* 0,6	0,9	1,3	9
10	1,8	2,2	2,5	2,5	* 2,2	1,8	1,3	0,9	0,5	0,5	* 0,7	1,0	1,5	2,0	2,3	2,4	* 2,3	1,9	1,5	1,0	0,7	0,6	* 0,8	1,1	10
11	1,6	2,1	2,5	2,6	* 2,5	2,1	1,6	1,1	0,6	0,4	+ 0,4	0,7	1,1	1,6	2,0	2,3	2,3 *	2,1	1,8	1,3	1,0	0,7	* 0,7	1,0	1
12	1,4	1,9	2,3	2,6	2,6	* 2,4	1,9	1,4	0,9	0,5	0,3	* 0,4	0,7	1,2	1,7	2,1	2,2 *	2,2	2,0	1,6	1,2	1,0	0,8	+ 0,9	12
13	1,2	1,7	2,1	2,5	2,6	* 2,5	2,2	1,7	1,2	0,7	0,4	0,3	* 0,5	0,8	1,3	1,7	2,0	2,1	* 2,1	1,8	1,5	1,2	1,0	1,0 *	13
14	1,2	1,5	1,9	2,2	2,5	2,6	* 2,4	2,0	1,6	1,1	0,7	0,4	0,4	* 0,6	0,9	1,3	1,6	1,9	2,0	* 1,9	1,7	1,5	1,3	1,2 *	14
15	1,2	1,4	1,7	2,0	2,3	2,4	* 2,4	2,2	1,9	1,5	1,1	0,7	0,5	0,5	* 0,7	0,9	1,2	1,5	1,8	1,8	+ 1,8	1,7	1,5	1,4	15
16	1,3 +	* 1,4	1,5	1,7	2,0	2,2	2,3	* 2,3	2,1	1,8	1,5	1,1	0,8	0,7	0,6	* 0,7	0,9	1,2	1,4	1,6	1,8	1,8	* 1,7	1,6	16
17	1,5	1,5 +	1,5	1,6	1,7	1,9	2,0	2,1	+ 2,1	2,0	1,8	1,5	1,2	1,0	0,8	0,7	* 0,7	0,9	1,1	1,3	1,6	1,7	1,8	1,8 *	17
18	1,8	1,7	1,6	1,5	* 1,5	1,6	1,7	1,9	2,0	2,0	* 2,0	1,9	1,6	1,3	1,1	0,8	0,7	0,7	. 0,8	1,0	1,3	1,6	1,8	2,0	18
19	2,0 +	1,9	1,7	1,6	1,4	1,4	* 1,4	1,5	1,7	1,9	2,0	2,1	2,0	1,7	1,4	1,1	8,0	0,7	0,6	* 0,8	1,0	1,4	1,7	2,0	19
20	2,1 +	≥ 2,1	1,9	1,7	1,5	1,3	1,2	* 1,2	1,4	1,6	1,9	2,1	2,1	+ 2,1	1,8	1,5	1,1	0,8	0,6	* 0,6	0,8	1,1	1,5	1,9	20
21	2,1	2,2 *		1,9	1,6	1,3	1,0	1,0	* 1,1	1,3	1,6	1,9	2,2	2,2	* 2,1	1,8	1,4	1,1	0,8	0,6	+ 0,7	0,9	1,3	1,7	2
22	2,1	2,3 +	2,3	2,1	1,7	1,4	1,0	0,8	0,8	* 1,0	1,3	1,7	2,0	2,3	2,3	* 2,1	1,8	1,4	1,0	0,7	0,7	+ 0,8	1,1	1,6	22
23	2,0	2,3	2,3	* 2,2	1,9	1,5	1,1	0,8	0,6	* 0,7	1,0	1,4	1,8	2,1	2,3	+ 2,3	2,0	1,7	1,3	0,9	8,0	* 0,8	1,1	1,4	23
24	1,8	2,2		* 2,3	2,1	1,7	1,2	0,8	0,6	0,5	• 0,7	1,1	1,5	1,9	2,2	2,3	* 2,2	1,9	1,5	1,2	0,9	0,9	s 1,0	1,3	24
25	1,7	2,1	2,4	2,4	* 2,2	1,9	1,4	1,0	0,6	0,5	* 0,5	0,8	1,2	1,6	2,0	2,2	2,2 *	2,0	1,7	1,4	1,1	1,0	1,1	1,3	25
26	1,6	2,0	2,3	2,4	* 2,3	2,1	1,6	1,2	0,7	0,5	0,4	* 0,6	0,9	1,3	1,7	2,0	2,1 *	2,0	1,8	1,5	1,3	1,1	1,1	* 1,3	26
27	1,6	1,9	2,2	2,4	* 2,4	2,2	1,8	1,4	0,9	0,6	0,5	* 0,5	0,7	1,1	1,4	1,7	1,9	2,0	* 1,9	1,7	1,4	1,3	1,2	* 1,3	27
28	1,5	1,8	2,1	2,3		* 2,3	2,0	1,6	1,2	8,0	0,6	0,5	* 0,6	0,9	1,2	1,5	1,7	1,8	* 1,8	1,7	1,5	1,4	1,3	* 1,3	28
29	1,5	1,7	2,0	2,2	2,3	* 2,3	2,1	1,8	1,4	1,1	0,8	0,6	0,6	* 0,8	1,0	1,3	1,5	1,7	1,7	* 1,7	1,6	1,5	1,4	1,4 *	29
30	1,5	1,6	1,9	2,1	2,2	2,3	* 2,2	2,0	1,7	1,3	1,0	0,8	0,7	* 0,7	0,9	1,1	1,3	1.5	1,6	1,7	* 1.6	1.6	1,5	1.5 +	30

Tabel Prakiraan pasang surut Dobo bulan September 2025 (Sumber : Pusat Hidrografi dan Oseanografi TNI Angkatan Laut)

5. Saumlaki

Berdasarkan data Pasang surut wilayah perairan Saumlaki diprediksi memiliki nilai maksimum mencapai 2,7 m.

1	1	2	3		4	5	6		7	8	9	10	11	12	13	3 1	14	15	16	17	18	19	20	21	22	23	24	P
1	1,5	1,6	1,8		2,0	2,2	2,	3	2,3 *	2,2	2,0	1,7	1,4	1,1	1,	0 0	,9 *	1,0	1,1	1,2	1,4	1,5	1,6	1,6	* 1,6	1,5	1,5 *	Ť
2	1,6	1,7	1,8		1,9	2,1	2,	2	2,3 +	2,3	2,1	1,9	1,7	1,4	1,	2 1	,1	1,0	1,0	1,0	1,1	1,3	1,4	1,5	1,6	1,6	1,6	П
3	1,6	1,7	1,7		1,8	1,9	2,	0	2,1	2,2	* 2,2	2,1	1,9	1,7	1,	5 1	,3	1,1	1,0	1,0	* 1,0	1,1	1,2	1,4	1,5	1,6	1,7	П
4	1,7	1,7	1,7		1,7	1,8	1,		1,9	2,0	2,1	2,2	* 2,1	2,0		8 1	,6	1,4	1,2	1,0	0,9	* 0,9	1,0	1,2	1,4	1,6	1,7	L
5	1,8	100	* 1,8		1,7	1,6	1,0		1,7	1,8	1,9	10000	2,2				,9	1,7	1,4	1,1	0,9	0,8	* 0,8	1,0	1,3	1,6	1,8	ı
6	1,9		* 1,9		1,7	1,6	1,		1,4 +	1,4	1,6	1,9	2,1	2,3	2,	3 * 2	,2	2,0	1,7	1,3	1,0	0,8	0,7	* 0,8	1,1	1,4	1,8	ı
7	2,0	2,1			1,9	1,6	1,4	4	1,2	1,1	1,3	1,5	1,9	2,2	2,	4 2	,4 *	2,3	2,0	1,6	1,2	0,9	0,7	* 0,7	0,9	1,3	1,7	ı
3	2,0	2,2	2,2		2,1	1,8	1,4	4	1,1		* 0,9	1,1	1,5	1,9	2,	3 2	,5	2,5	2,3	2,0	1,5	1,1	0,8	0,7	* 0,8	1,1	1,6	ı
9	2,0	2,3	2,4	_	2,3	2,0	1,6	6	1,1	0,8	0,7	* 0,8	1,1	1,5	2,	0 2	,4		* 2,5	2,3	1,8	1,4	0,9	0,7	* 0,7	1,0	1,4	L
0	1,9	2,3	2,5		2,5 *		1,5	_	1,4	0,9	0,6		* 0,7	1,1	1,		,1	2,5	2,6 *	2,5	2,1	1,7	1,2	0,9	0,7	* 0,9	1,2	Т
1	1,7	2,1	2,5		2,7 *	2,5	2,		1,7	1,1	0,7	0,4	* 0,4	0,7	1,		,7	2,2	2,5	2,5	* 2,4	2,0	1,5	1,1	0,9	0,9	* 1,1	Т
2	1,5	2,0	2,4		2,7	2,7			2,0	1,5	0,9	0.000	0,4	8973			,3	1,8	2,2	2,4	2,4	* 2,2	1,8	1,4	1,1	1,0	+ 1,0	L
3	1,3	1,7	2,2		2,5	2,7	* 2,6		2,3	1,8	1,3	0,8	0,5				,9	1,3	1,8	2,1	2,3	* 2,2	2,0	1,7	1,4	1,1	1,1 +	L
4	1,3	1,6	1,9		2,3	2,6	2,6		2,5	2,2	1,7	1,2	0,8				,6	0,9	1,3	1,7	2,0	2,1	* 2,1	1,9	1,6	1,4	1,3 *	ı
5	1,3	1,5	1,7		2,0	2,3	2,		2,5 *	2,4	2,1	1,6	1,2				,6 *	0,7	1,0	1,3	1,6	1,8	1,9	* 1,9	1,8	1,6	1,5	L
6	1,4	1,5	1,6		1,8	2,0	2,2		2,4	2,4	2,3	2,0	1,6	1,3	1,	0 0	,8	- 1	* 0,8	0,9	1,2	1,5	1,7	1,8	1,9	* 1,8	1,7	ı
7	1,6	7.5	* 1,6		1,6	1,8	1,9	9	2,1	2,2	2,3		2,0	1,7	1,	4 1	,1	0,9	0,8	0,8	* 0,9	1,1	1,4	1,6	1,8	1,9	1,9 *	ı
8	1,8	1,8	1,7		1,6	1,6	* 1,6	3	1,8	1,9	2,1	2,2	* 2,2	2,1	1,		,6	1,3	1,0	0,8	0,7	* 0,8	1,0	1,3	1,6	1,9	2,0	L
9	2,0	* 2,0	1,8		1,7	1,5	1,4		1,4	1,6	1,8	2,0	2,2	2,3				1,7	1,3	1,0	8,0	0,7	* 0,8	1,0	1,4	1,7	2,0	L
0	2,1		* 2,0		1,8	1,5	1,3	_	1,2 *	1,3	1,4	1,7	2,0		- 7.5		,3	2,1	1,7	1,3	1,0	0,7	0,7	* 0,8	1,1	1,5	1,9	Т
1	2,1	2,2	* 2,2		2,0	1,7	1,3		1,1	1,0 ,	25.0	1,4	1,7	2,1	2,		,4 +	2,3	2,1	1,7	1,3	0,9	0,7	* 0,7	0,9	1,3	1,7	Т
2	2,1	2,3	2,3		2,1	1,8	1,4		1,1	0,9	0,8	0.00	1,4	1,8	2,		,4	2,5	* 2,3	2,0	1,6	1,2	0,9	0,8	* 0,9	1,2	1,6	L
3	2,0	2,3	2,4		2,3	2,0	1,6		1,2	0,8	0,7	0.000	1,0	1,5	1,		500		* 2,5	2,2	1,9	1,5	1,1	0,9	0,9	* 1,1	1,5	В
4	1,9	2,2	2,4		2,4	2,1	1,8		1,3	0,9	0,6	0,6	* 0,8	1,1	1,	6 2	,0	2,3	2,4 +	2,4	2,1	1,7	1,3	1,1	1,0	* 1,1	1,4	L
5	1,8	2,1	2,4		2,4 *	2,3	1,9		1,5	1,0	0,7		* 0,6	0,9	1,	3 1	,7	2,1	2,3		* 2,2	1,9	1,6	1,3	1,1	* 1,2	1,4	L
6	1,7	2,1	2,3		2,5 *		2,		1,7	1,2	0,8	0,6	0,5	* 0,7	1,0		,4	1,8	2,1		* 2,2	2,0	1,7	1,4	1,3	1,3	* 1,4	L
7	1,7	2,0	2,3		2,5		* 2,3		1,9	1,5	1,0	0,7	0,6				,1	1,5	1,8	2,0	2,1	* 2,0	1,8	1,5	1,4	1,3	* 1,4	L
8	1,7	1,9	2,2		2,4		* 2,4		2,1	1,7	1,3	0,9	0,7	0,6	* 0,	7 1	,0	1,3	1,6	1,8	1,9	* 1,9	1,8	1,6	1,5	1,4	* 1,5	L
9	1,6	1,9	2,1		2,3		* 2,4		2,2	1,9	1,6	1,2	0,9	0,8	* 0,1	B 0	,9	1,1	1,3	1,6	1,7	1,8	* 1,8	1,7	1,5	1,5	* 1,5	L
0	1,6	1,8	2,0	-	2,2	2,3	2,4		2,3	2,1	1,8	1,5	1,2	1,0	0,9	9 * 0	,9	1,0	1,2	1,3	1,5	1,6	1,7	* 1,7	1,6	1,5	1,5 +	Т

Tabel Prakiraan pasang surut Saumlaki bulan September 2025 (Sumber : Pusat Hidrografi dan Oseanografi TNI Angkatan Laut)

6. Namlea

Berdasarkan data Pasang surut wilayah perairan Saumlaki diprediksi memiliki nilai maksimum mencapai 1,8 m.

03°	16' 0	9.43"	S/S	- 127	7° 05'	02.10)" T/E		SEI	PTEN	ABE	R/SE	PTEN	MBE	R 202	25				W	aktu/	Time	: G.N	M.T. +	09.00
$\frac{1}{1}$	1	2	3	4	5	6	7	8	9	10	11	12	13	14	15	16	17	18	19	20	21	22	23	24	J / _T
1	1,0	1,1	1,2	1,4	1,6	1,7	* 1,6	1,5	1,2	1,0	0,7	0,6	0,5	* 0,6	0,7	0,9	1,1	1,2	1,3	* 1,3	1,2	1,1	1,0	1,0 +	1
2	1,0	1,1	1,2	1,4	1,5	1,6	1,7	* 1,5	1,3	1,1	0,9	0,7	0,6	0,6	* 0,6	0,7	0,9	1,1	1,2	1,3	* 1,2	1,1	1,1	1,0 *	2
3	1,0	1,1	1,2	1,3	1,4	1,6	1,6	* 1,6	1,4	1,2	1,0	3,0	0,7	0,6	0,6	* 0,6	0,8	1,0	1,1	1,2	1,2	* 1,2	1,1	1,1 +	3
4	1,1	1,1	1,2	1,2	1,3	1,5	1,5	1,6	* 1,5	1,3	1,1	1,0	0,8	0,7	0,6	0,6	* 0,7	0,8	0,9	1,1	1,1	1,2	1,2	1,2	4
5	1,2	1,2 *	1,2	* 1,2	1,2	1,3	1,4	1,5	* 1,4	1,4	1,3	1,1	1,0	0,9	0,8	0,7	0,6	* 0,7	0,8	0,9	1,0	1,1	1,2	1,2	5
6	1,3	1,3 +	1,3	1,2	1,2	* 1,2	1,2	1,3	1,3	* 1,3	1,3	1,3	1,2	1,1	1,0	0,8	0,7	0,6	* 0,7	0,8	0,9	1,0	1,1	1,2	6
7	1,3	1,4 +	1,4	1,3	1,2	1,1	1,1	* 1,1	1,2	1,2	1,3	1,3	1,3	* 1,3	1,2	1,0	0,8	0,7	0,6	+ 0,6	0,7	0,9	1,0	1,2	7
8	1,4	1,5	1,5	* 1,4	1,3	1,1	1,0	0,9	+ 1,0	1,0	1,1	1,3	1,4	1,4	* 1,4	1,3	1,0	0,8	0,6	0,6	* 0,6	0,7	0,9	1,1	8
9	1,3	1,5	1,6	* 1,6	1,4	1,2	0,9	0,8	0,8	* 0,8	0,9	1,1	1,3	1,5	1,5	* 1,5	1,3	1,0	0,8	0,6	0,6	* 0,6	0,8	1,0	9
10	1,3	1,5	1,7	1,7	* 1,6	1,3	1,0	0,8	0,6	0,6	+ 0,7	0,9	1,1	1,4	1,6	1,6	* 1,5	1,3	1,0	0,7	0,6	0,6	* 0,6	0,8	10
11	1,1	1,4	1,7	1,8	* 1,7	1,5	1,2	0,8	0,6	0,5	* 0,5	0,6	0,9	1,2	1,5	1,7	1,7	1,5	1,2	0,9	0,7	0,6	* 0,6	0,7	11
12	1,0	1,3	1,6	1,8	1,8	* 1,7	1,3	1,0	0,7	0,5	0,4	* 0,4	0,6	0,9	1,3	1,6	1,7	* 1,6	1,4	1,2	0,9	0,7	0,6	* 0,7	12
13	0,9	1,1	1,4	1,7	1,8	* 1,8	1,5	1,2	0,8	0,5	0,4	0,3	* 0,4	0,7	1,0	1,4	1,6	1,7	* 1,6	1,4	1,1	0,9	0,7	0,7 *	13
14	0,8	1,0	1,3	1,6	1,8	1,8	* 1,7	1,4	1,0	0,7	0,5	0,3	* 0,3	0,5	0,8	1,1	1,4	1,6	1,6	* 1,5	1,3	1,1	0,9	0,8 *	14
15	0,8	0,9	1,1	1,4	1,6	1,8	* 1,7	1,5	1,2	0,9	0,6	0,4	0,4	* 0,4	0,6	0,9	1,2	1,4	1,5	* 1,5	1,4	1,2	1,1	1,0	15
16	0,9	* 0,9	1,1	1,3	1,5	1,6	1,7	* 1,6	1,3	1,1	0,8	0,6	0,5	0,4	* 0,5	0,7	0,9	1,2	1,3	1,4	* 1,4	1,3	1,2	1,1	16
17	1,1	1,0 *	1,1	1,2	1,3	1,5	1,6	* 1,5	1,4	1,2	1,0	0,8	0,7	0,5	0,5	* 0,6	0,7	0,9	1,1	1,3	1,3	1,3	* 1,3	1,3	17
18	1,2	1,2	1,1	* 1,1	1,2	1,3	1,4	1,4	* 1,4	1,3	1,2	1,0	0,9	0,7	0,6	0,6	* 0,6	0,8	0,9	1,1	1,2	1,2	1,3	1,3	18
19	1,3	* 1,3	1,2	1,2	1,2	* 1,2	1,3	1,3	* 1,3	1,3	1,2	1,1	1,1	1,0	0,8	0,7	0,7	* 0,7	0,8	0,9	1,0	1,1	1,2	1,3	19
20	1,4	1,4 +	1,4	1,3	1,2	1,1	1,1	+ 1,1	1,2	1,2	1,2	1,2	1,2	* 1,2	1,1	0,9	0,8	0,7	* 0,7	0,8	0,9	1,0	1,1	1,3	20
21	1,4	1,5 *	1,5	1,4	1,2	1,1	1,0	1,0	* 1,0	1,0	1,1	1,2	1,3	1,3	* 1,2	1,1	0,9	0,8	0,7	0,7	* 0,8	0,9	1,0	1,2	21
22	1,4	1,5	1,5	* 1,5	1,3	1,1	1,0	0,9	0,9	* 0,9	1,0	1,1	1,2	1,4	1,4	* 1,3	1,1	1,0	0,8	0,7	0,7	* 0,8	0,9	1,1	22
23	1,3	1,5	1,6	* 1,5	1,4	1,2	1,0	0,9	0,8	0,8	* 0,8	1,0	1,2	1,3	1,4	* 1,4	1,3	1,1	0,9	0,8	0,7	* 0,8	0,8	1,0	23
24	1,2	1,4	1,6	1,6	* 1,5	1,3	1,0	0,8	0,7	0,7	* 0,7	0,8	1,0	1,3	1,4	1,5	+ 1,4	1,3	1,1	0,9	0,8	0,8	* 0,8	1,0	24
25	1,1	1,4	1,5	1,6	* 1,5	1,3	1,1	0,8	0,7	0,6	* 0,6	0,7	0,9	1,2	1,4	1,5	1,5	* 1,4	1,2	1,0	0,9	0,8	+ 0,8	0,9	25
26	1,1	1,3	1,5	1,6	* 1,6	1,4	1,1	0,9	0,7	0,5	0,5	* 0,6	0,8	1,0	1,3	1,5	1,5	+ 1,5	1,3	1,1	1,0	0,9	0,9	* 0,9	26
27	1,1	1,3	1,5	1,6	1,6	+ 1,5	1,2	0,9	0,7	0,5	0,5	* 0,5	0,7	0,9	1,2	1,4	1,5	+ 1,5	1,4	1,2	1.0	0.9	0.9	+ 1.0	27
28	1,1	1,3	1,5	1,6	1,7	* 1,6	1,3	1,0	0,7	0,5	0,4	+ 0,5	0,6	0,8	1,0	1,3	1,5	1,5	* 1,4	1.3	1.1	1.0	0.000	+ 1.0	28
29	1,1	1,2	1,4	1,6	1,7	* 1,6	1,4	1,1	0,8	0,6	0,5			0,6	0,9	1,1	1.4		+ 1.5	1.3	1.2	1.0		* 1.0	29
30	1,1	1,2	1,3	1,5	1,6	1,7	* 1,5	1,3	1,0	0.7	0.5		* 0.5	0.6	0.7	1.0	1.2	1.4		* 1.4	1,2	- 1,1	1,0	1.0 +	30

Tabel Prakiraan pasang surut Namlea bulan September 2025

(Sumber: Pusat Hidrografi dan Oseanografi TNI Angkatan Laut)

IV. KRITIK DAN SARAN

Kritik, saran serta masukan dari Bpk, Ibu, Saudara/i sangat kami butuhkan dalam pengembangan buletin Meteorologi Maritim ini, oleh sebab itu kami sangat berharap adanya kritik saran serta masukan dari Bpk, Ibu, Saudara/i sekalian melalui :

• Email : maritimambon@gmail.com

• Whatsapp : 0812-96265822

• Tlp : 0911-3834398

DAFTAR PUSTAKA

BoM. 2015 : *ENSO Indices*, diakses dari http://www.bom.gov.au/climate/enso/indices.shtml?bookmark=iod

BoM. 2015: SO/, diakses dari (http://www.bom.gov.au/climate/current/soi2.shtml)

COMET: diakses dari http://www.goes-r.gov/users/comet/tropical/

CPC NOAA. 2015: MJO 5 day running mean, diakses dari http://www.cpc. noaa.gov/products/)

CPC NOAA. 2014 : *OLR Prediction of MJO*, diakses dari http://www.cpc.ncep.noaa.gov/products/precip/CWlink/MJO/forca.shtml

ESRL NOAA. 2015 : reanalysis data access (http://www.esrl.noaa.gov/psd/ data/histdata/)

BMKG. 2024. Indonesia Weather Information for Shipping INAWIS [PowerPoint Slides]. BMKG

NOAA. 2023. *Tides and Water Level*. Diakses dari https://oceanservice.noaa.gov/education/tutorial_tides/tides07_cycles.html

NOAA. 2013. Currents and Marine Life. Diakses dari https://oceanexplorer.noaa.gov/edu/learning/8_ocean_currents/activities/currents.ht ml#activity

PUSHIDROSAL. 2024. *Daftar Pasang Surut Kepulauan Indonesia*. Jakarta: Pusat Hidrologi dan Oseanografi TNI Angkatan Laut.

UCAR. 2015 : El Nino - La Nina Condition, diakses dari https://www.ucar.edu/News/2011/enso.gif/